

**الملاعة المكانية ل收藏 مياه الأمطار في محافظة النماص  
بالمملكة العربية السعودية**

**Spatial Suitability for Rain Water harvesting in AL Namas Governorate, Kingdom of Saudi Arabia**

إعداد

**نورة بنت عبد الله بن يحيى الأسمري**  
Noura Abdullah Yahya Al-Asmari

**د. سلافة حاج الصافي**  
Dr. Sulafa Hajj Al Safi  
الأستاذ المساعد بقسم الجغرافيا، جامعة الملك سعود

**Doi: 10.21608/jasg.2022.263619**

استلام البحث : ٢٠٢٢ / ٨ / ١٥  
قبول النشر : ٢٠٢٢ / ٩ / ٨

الأسمري ، نورة عبد الله يحيى و الصافي ، سلافة حاج (٢٠٢٢). الملاعة المكانية ل收藏 مياه الأمطار في محافظة النماص بالمملكة العربية السعودية. **المجلة العربية للدراسات الجغرافية** ، المؤسسة العربية للتربية والعلوم والأداب ، مصر ، مجلـة عـامـة ، صـص ١١١ - ١٥٦ .

<https://jasg.journals.ekb.eg>

## **الملاعة المكانية لحساب مياه الأمطار في محافظة النماص بالمملكة العربية السعودية**

### **المستخلص :**

هدفت الدراسة إلى معرفة خصائص الهطول في محافظة النماص، وتقدير حجم المياه الجارية في أحواضها، وعليه يتم تحديد المناطق الأكثر ملاءمة لإنشاء مشاريع خزن مياه الأمطار. حيث اعتمدت الدراسة على المنهج الاستقرائي التحليلي، والأسلوب التحليلي الكارتوغرافي، والذي يدرس الظاهرة من خلال الاعتماد على الخرائط الطبوغرافية، وخرائط التربة، واستخدامات الأراضي، والذي ساهم في توفير البيانات الجغرافية للمنطقة، كما تم الاعتماد على الأسلوب الكمي لحساب متوسطات الهطول لمحطة منطقة الدراسة والمناطق المجاورة لها للفترة (٢٠٠٣-٢٠١٨م)، كما تمت دراسة الخصائص المطرية للمنطقة واحتمالية التساقط وفترات الرجوع فيها، وحساب المنحنى العددي Curve Number (CNS) وذلك باستخدام ArcGIS وعليه تم تطبيق عدد من المعادلات لحساب حجم الجريان السطحي الذي ساهم في تحديد المناطق الأكثر ملاءمة لإنشاء مشاريع حصاد مياه الأمطار اعتماداً على عدد من المعايير المناسبة لطبيعة المنطقة. وبذلك توصلت الدراسة إلى أن الأمطار المتتساقطة على محافظة النماص كانت على مدار فصول السنة، حيث إن الجزء الأكبر منها يكون في فصل الربيع، كما ودلت قيم احتمالية سقوط الأمطار وفترة رجوعها في المنطقة على أنها تتسم بالطابع العشوائي والمتذبذب على مدار السنوات المدرسة، وأيضاً أظهرت نتائج تقدير حجم الجريان السطحي على ضخامة حجم المياه الجارية في أحواض المنطقة والبالغ متوسطها (١٣٩,٨) مليون م<sup>3</sup>، كما وتوصلت الدراسة إلى تحديد أفضل المواقع لإقامة أنظمة حصاد؛ وذلك في حوضي وادي ترج و وادي بدو بمعدل ١٩ موقعًا، تتراوح كمية الجريان فيها من ٢٣ إلى ٤٣ مليون م<sup>3</sup> خلال السنة، وعليه فإن النتائج المقترحة لموقع الحصاد لم تتوافق مع أي من المشاريع المقامة حالياً في المحافظة، وبعد أفضل المواقع المقترحة ذو متوسط موزون بلغ ٦,٧ وبمعدل جريان يتراوح بين (٢٦ إلى ٢٨ مليون م<sup>3</sup>)، وهنا تكمن أهمية النتائج المقترحة والتي ستساهم بشكل فعال في استغلال الموارد المائية غير المستغلة في المحافظة، كما وتوصي الدراسة بإعطاء الاهتمام الأكبر بتأسيس بنية تحتية متناسبة مع طبيعة المنطقة لاحتواء أمطار السيول والاستفادة منها وتخزينها بالشكل الصحيح.

## Abstract

The present study aimed to identify the characteristics of precipitation in Al-Namas Governorate, and estimating the volume of running water in its basins, and accordingly identifying the most suitable areas for constructing rainwater storage projects. The study is based on the analytical inductive approach, and the cartographic analytical method, which investigates the phenomenon by relying on topographic maps, soil maps, and land uses, which contributed to the provision of geographical data for the region. As well, the study relied on the quantitative method to calculate the average precipitation for the station of the study area and the surrounding areas for the period (2003-2018). The rain characteristics of the area, the probability of precipitation and the return periods in them were studied, and the curve number (CN) was calculated using ArcGIS and accordingly a number of equations for calculating the volume of surface runoff that contributed to determining the most suitable areas for the establishment of rainwater storage projects based on a number of criteria appropriate to the nature of the region. Thus, the study concluded that the rain falling on Al-Namas governorate was throughout the seasons of the year, as the largest part of it is in the spring, and the values of the probability of rainfall and the period of its return in the region indicated that it is characterized by a random and fluctuating nature over the years studied. Also, the conclusions demonstrated the results of estimating the volume of surface runoff based on the magnitude of the volume of running water in the basins of the region, with an average of (139.8) million m<sup>3</sup>. As well, The study also concluded to identify the best sites for establishing storage systems in the basins of Wadi Al-Tarj and Wadi Badawi. With an average of 19 sites, the amount of runoff ranges from 23 to 43 million cubic meters during the year. Accordingly, the proposed results for storage sites do not match any of the existing projects

in the governorate. And that the best proposed sites recorded a weighted average of 7.6 and a run-off rate ranging between (26 to 28 million cubic meters), and here lies the importance of the proposed conclusions that will effectively contribute to the exploitation of untapped water resources in the province.. The study also recommends paying greater attention to establishing an infrastructure commensurate with the nature of the area to contain the torrential rain, benefit from it and store it properly.

#### **المقدمة:**

يعد تعدد مصادر المياه في أي منطقة عاملً أساسياً يساهم في نموها وازدهارها، حيث تسهم بشكل مباشر في نشوء الحضارات الإنسانية من خلال قيام الأنشطة الزراعية، والصناعية وغيرها من الأنشطة التي بدورها تقدم الحضارات والبلدان، ففي المناطق الجافة وشبه الجافة حرص الإنسان منذ القديم على جمع مياه الأمطار والمياه السطحية؛ لتأمين احتياجاته في الشرب والزراعة، كما في جنوب الأردن وصحراء القب. والعرب الأنبياط هم أول من اهتموا بتطوير تقنيات حصاد المياه؛ لغرض استخدامها في الأنشطة الزراعية والتجارية، كما في السودان كان استخدام تقنيات حصاد المياه عبارة عن حفر أحواض في الأرض الطينية أو الصلبة لاستخدامها في أغراض الزراعة وأشرب للإنسان، والحيوان (آل الشيخ ٢٠٠٦م).

كما وُتُّعد تقنيات حصاد مياه الأمطار مهمة جداً وفعالة في التقليل من تفاقم مشكلة المياه، وتوفير مورد يعتمد عليه، وخصوصاً في المناطق الجافة وشبه الجافة، حيث احتلت منطقة الشرق الأوسط في عام ٢٠٠٦ م الترتيب ما قبل الأخير في قلة مصادر المياه المتتجددة والتي بلغت ٤٨٣ مليون م<sup>٣</sup>، يليها دول شمال أفريقيا التي بلغت ١٠٧ مليون م<sup>٣</sup> (القططاني و إسماعيل، ١٤٣٣هـ)، أما ما يخص الموارد المائية في الوطن العربي فقد تميزت بندرتها وتدني نوعيتها، وبناءً عليه تزايد الاهتمام بوضع المياه في المنطقة في العقود الأخيرة؛ نظراً للحاجة الماسة لها، وأصبحت عاملً مهماً ومعياراً يعكس مدى التقدّم والتطور (الخرابشة و غنيم، ٢٠٠٩).

وتعد تقنية حصاد مياه الأمطار RWH (Rainwater Harvesting) واحدة من أهم الوسائل لجعل كل قطرة من المياه ذات قيمة، ويستحق جمعها واستغلالها، وأهمية

تطبيق هذه السياسة في المملكة عموماً، وفي منطقة الدراسة خصوصاً؛ لذلك شجع المسؤولون والمبرعون على الموارد المائية في المملكة العربية السعودية على تشجيع RWH؛ لتجنب حالات الجفاف الحادة (Shereif, 2014).

**مشكلة الدراسة:**

تقع المملكة العربية السعودية ضمن النطاق الجاف وشبه الجاف (الشريف، ١٩٩٣م)، مما يجعلها تواجه تحديات كبيرة؛ للاستخدام غير المستدام لمواردها، ولو قوعها دون خط "ندرة المياه" وفقاً لمؤشر اليونيسيكو (القططاني و إسماعيل، ١٤٣٣هـ )، وعلى الرغم من تنوع الموارد المائية فيها ومحدوديتها من حيث الكمية إلا أنها تعد من أكثر الدول استهلاكاً للمياه؛ نتيجة للتطور الذي تشهده في جميع مجالاتها (القبي، ٢٠٠٨م)، حيث قدر الاستخدام الإجمالي لمياه الشرب في المملكة وذلك بمصدريه: مياه التحلية والمياه الجوفية إلى ما يقارب ٣١٢٩ مليون م<sup>٣</sup> وذلك في عام ٢٠١٦م، وبلغت نسبة الاستهلاك للمياه الجوفية ومياه السدود إلى ١٨٢ مليون م<sup>٣</sup> أي ما يقارب ٣٨٪ من إجمالي الاستهلاك (مكتبة البيانات المفتوحة، ٢٠١٨م)، ويشكل القطاع الزراعي المستهلك الأكبر للمياه في المملكة وذلك بنسبة ٨٤٪ من إجمالي الطلب على المياه، مما يجعل استخدام المياه في القطاع الزراعي تحدياً بيئياً؛ وذلك نظراً لاعتماده على الموارد غير المتتجدة (وزارة البيئة والمياه والزراعة، ٢٠١٨م).

وتشمل المياه السطحية الجارية التي تتنفس من تساقط الأمطار من الموارد المستعملة التي يقتصر استخدامها بشكل أكبر في الأجزاء الجنوبية الغربية من المملكة، حيث تتميز المنطقة بأنها أكثر أجزاء المملكة هطولاً للأمطار (الشريف، ١٩٧٦م)، وفي منطقة عسير تحديداً قدر متوسط كمية مياه الأمطار السنوية بنحو ٥٧.٨٨٤ مليون م<sup>٣</sup> وذلك في المدة ١٩٦٠ - ٢٠٠٧م، حيث يت弟兄 منها ما يقارب ٤٩.٤٠٥ مليون م<sup>٣</sup> أي بنسبة ٨٥٪، وتجري منها مياه سطحية قدرت بـ ٥٥٨٢ مليون م<sup>٣</sup> أي بنسبة ١٠٪، وتتغذى المياه الجوفية بنحو ٢,٨٢٧ مليون م<sup>٣</sup> أي بنسبة ٥٪ (القططاني و إسماعيل، ١٤٣٣هـ ). وبالتالي فإن هناك كميات هائلة من المياه السطحية المهدرة في المنطقة والتي إن استغلت بشكل صحيح أصبحت مورداً يعتمد عليه، بحيث يساهم في تقليل الطلب على المياه الجوفية غير المتتجدة، أما ما يخص منطقة الدراسة فقد تميزت بوقوعها ضمن إقليم المرتفعات الجبلية لمنطقة عسير الذي يتميز عن الأقاليم الأخرى باستقباله أكبر كمية من الأمطار الموزعة على جميع فصول السنة، حيث بلغ متوسط الهطول المطري لمحافظة النماص ٣٩١ ملم<sup>٣</sup> (الشريف، ١٩٧٦م)، وبناءً على ذلك ركزت الدراسة على كيفية الاستفادة من تقنية نظم المعلومات الجغرافية (GIS)، في تحديد موقع لإنشاء خزانات حصاد؛ وذلك للاستفادة منها في توفير مصادر إضافية للمنطقة.

**أهداف الدراسة:**

- تسعى هذه الدراسة إلى تحقيق الأهداف الآتية:
- ١- دراسة الخصائص المطرية لمنطقة الدراسة.
  - ٢- تقدير حجم الجريان السطحي في الأحواض المائية.
  - ٣- اختيار المناطق الملائمة لحصاد مياه الأمطار في محافظة النماص.

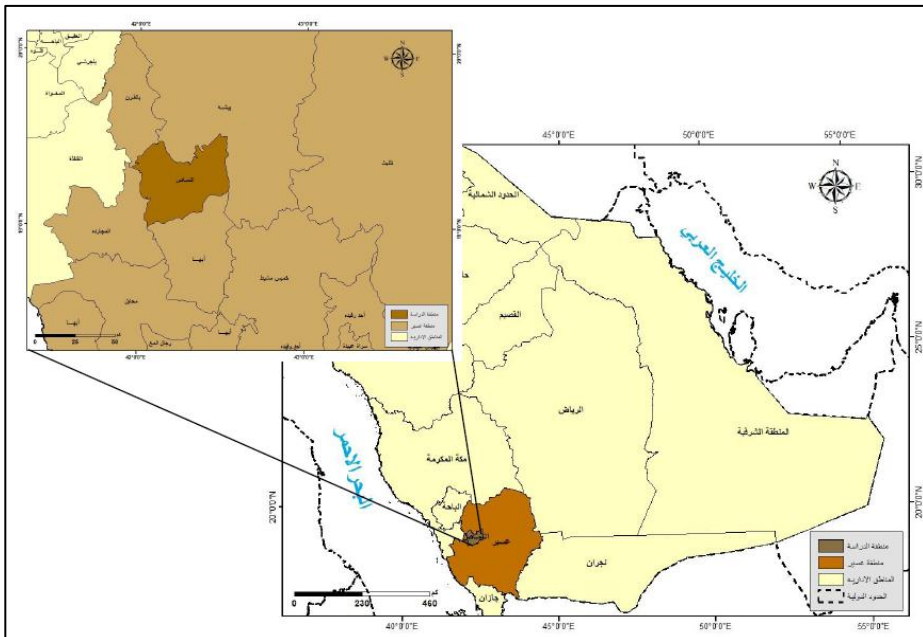
**موقع منطقة الدراسة:**

**الحدود الزمنية:** تعتمد الدراسة على البيانات الإحصائية والمتمثلة في بيانات الأمطار للمحطة التابعة لمحافظة النماص ومحطات المناطق المجاورة لها (تنومة، للسمير، سبت العلايا، المغاردة، صمخ) للفترة (٢٠٠٣-٢٠١٨م)، الصادرة من إدارة تنمية موارد المياه بمنطقة عسير التابعة لوزارة البيئة والمياه والزراعة.

**الحدود المكانية:** تقع محافظة النماص في الجزء الشمالي لمنطقة عسير بمساحة تقدر (٢١٣٢كم<sup>٢</sup>)، يتبعها مركز بنى عمرو كما في شكل(١)، حيث تمتد بين دائرتين عرض (١٩°٠٠، ١٩°٣٠) شمالاً وخطي طول (٤٢°٣٠، ٤٢°٠٠) شرقاً، ويحدها من الغرب محافظة المغاردة، ومحافظة بارق، ومن الشمال محافظة بلقرن، ويحدها من الشرق محافظة بيشة، ومن الجزء الجنوبي محافظة تنومة.

وتقع تحديداً على سلسلة جبال السروات التي تمتد من الجنوب الغربي للجزيرة العربية إلى الشمال الغربي، ويعود هذا الجزء من أعلى المناطق بالمملكة العربية السعودية، حيث يزيد ارتفاع بعض أجرائها عن ٣٠٠٠ متر فوق مستوى سطح البحر، ويغلب على طبيعة المنطقة تضاريسها الوعرة والجبلية، وخصوصاً الانحدار الكبير من الجهة الغربية باتجاه سهول تهامة حيث تبلغ زاوية الانحدار ٨٠-٦٠ درجة، كما يوجد بعض القمم الجبلية شاهقة الارتفاع مثل جبل منعة بالقرب من تنومة، وتحديداً جنوب محافظة النماص، وهو عبارة عن كتلة جرانيتية، ويعتبر أعلى جبال غرب عسير الشمالية، ويبعد في شكل هضبة ضخمة بارتفاع ٢٩٥٠ متر فوق سطح البحر (سالم ٢٠٠٦م)، وأيضاً جبل مرير، وجبل الضُّور، وجبل حرفة، حيث بلغ ارتفاعها (٢٤٩١، ٢٥٢١، ٢٧٢٥) متراً على التوالي.

## شكل ١: موقع محافظة النماص.



المصدر: بيانات الهيئة العامة للمساحة والمعلومات الجيومكانية.

### أهمية الدراسة:

تحقيقاً للتنمية المستدامة للأجيال، وتأمين احتياجاتها المستقبلية من المياه في المنطقة، يتطلب مواجهة التحديات المتصلة بندرة المياه وحدودية مصادرها من خلال استغلال الأوقات المطرية، وتحقيق الكفاءة لاستخدام الموارد الأرضية غير المستغلة من المياه (الفحاطني و إسماعيل، ١٤٣٣هـ )، حيث إن دراسة جمع مياه الأمطار وحصادها لم تكن وليدة الصدفة، بل جاءت بعد نجاحها من خلال تجارب الدول المجاورة والمشابهة للظروف نفسها، ففي دولة السودان بلغ متوسط الإيرادات في بعض الأودية المقاومة فيها مشاريع الحصاد إلى حوالي ١٩٨٠٣٤ مليون متر مكعب (مكي، ٢٠٠٦م)، كما توجد تجارب ناجحة في دولة الإمارات العربية المتحدة، وفلسطين، والأردن وغيرها من الدول، وأولت المملكة اهتماماً لهذا الموضوع، فقد نفذ معهد الأمير سلطان مشروع الملك فهد لحصاد مياه الأمطار والسيول وخزنها بالملكة عموماً. حيث أنشئ في المملكة ما يقارب ٢٢٠ سداً مقاماً في بطون الأودية الرئيسية(آل الشيخ، ٢٠٠٦م)، وفي عام ٢٠١٦م بلغ إجمالي السدود باختلاف

أغراضها في المملكة إلى ما يقارب ٥٠٨ سداً، وتصل سعة تخزينها ٤٣٠٠٢٥٠ مترًا مكعبًا (وزارة البيئة والمياه والزراعة، ٢٠١٦).  
وبناءً على الحقائق العلمية فإن السدود المقامة في بطون الأودية تكون ذات فوائد محدودة جدًا؛ وذلك نتيجة لعرضها للملوثات الخارجية، وتجمع الرواسب التي تقلل وتمتنع تسرب المياه إلى باطن الأرض مما يجعلها معرضة للتباخر دون الاستفادة منها، حيث لا بد من إقامة سدود بصورة صحيحة في منطقة الدراسة خصوصاً، حيث يمكن إنشاء خزانات أرضية ذات شبكات تصفيية تكون ذات كلفة اقتصادية أقل ومردود مائي كبير؛ لتنقل المياه من خزانات الحصاد بسهول وجسور المناطق الزراعية والرعوية، وحماية المياه من التلوث والتباخر، وهنا تكمن أهمية الدراسة في تحديد المناطق الملائمة لإنشاء خزانات أو مستجمعات لحساب مياه الأمطار في محافظة النماص، حيث إن المنطقة تحقق أهم المعايير لنجاح الحصاد فيها والذي يدوره يقلل من الاعتماد على الموارد غير المتتجدد من المياه الجوفية، وعليه فإن للدراسة دوراً فعالاً في الإسهام والدعم في صناعة القرار، وإن مثل هذا النوع من الدراسات لم يعط الاهتمام الكافي في المنطقة.

#### **الدراسات السابقة:**

تناولت عدد من الدراسات العربية، والعالمية أهمية تنمية الموارد المائية واستدامتها، واقتراح الحلول لشح المياه، وتقليل الضغط على المصادر غير المتتجدة والاستغلال الأمثل لها، ومن أهمها مايلي:

دراسة (حميد، ٢٠١٦) التي هدفت إلى التحليل المكاني لتقدير حجم الجريان السطحي باستخدام (SCS CN) لوحض وادي المر الجنوبي شمال العراق، حيث اعتمد الباحث في دراسته المنهج التحليلي الكمي وتطبيق المعادلات الرياضية اعتماداً على نظم المعلومات الجغرافية والاستشعار عن بعد، وبناءً على ما سبق فقد توصل الباحث إلى أن الجريان السطحي في الحوض بلغ ٢٥٨.٥ ملم ، وتتراوح فيه بين (١٩١-٢٩٣) ملم، كما أظهرت نتائج تقدير حجم الجريان السطحي المائي السنوي إلى نحو ٤٠ مليون م<sup>٣</sup> ، أي بنسبة ٣٧.٠٪ من حجم الجريان السطحي السنوي في الحوض، وبذلك يوصي الباحث بتوظيف تقنيتي RS و GIS، لما لها من دور بارز للحصول على نتائج عالية الدقة.

وتعد دراسة (الشرقاوي، ٢٠١٨) التي أظهرت أهمية تطبيق نموذج حساب تدفق السيول من مصلحة التربية الأمريكية SCS التي هدفت إلى تقدير كمية التدفق اليومي لسيول أودية النقيب، والوطاء، والعوشز، والوادي، والعود الرافدة لوادي

الرمة التي تمتد على مصباتها المنطقة العمرانية لمدينة بريدة بتطبيق نموذج SCS، وقد أظهر تطبيق هذا النموذج الهيدرولوجي أن متوسط تدفق الذروة للسيول لأوقات الرجوع الممتدة من ٥ حتى ١٠٠ سنة يتراوح بين  $63,9 \text{ م}^3/\text{ثانية}$  بحوض وادي العوشز و  $1,250 \text{ م}^3/\text{ثانية}$  بحوض وادي الوطا، ونتج عنه متوسط تدفق نوعي أظهر أن حوض وادي العود هو أكثر الأحواض قدرة على تحويل مياه الأمطار إلى مياه جارية سطحية بمتوسط تدفق نوعي قدره  $3,00 \text{ م}^3/\text{ثانية}/\text{كم}^2$ ، وأن حوض وادي العوشز هو أقل الأحواض المدروسة قدرة على تحويل مياه الأمطار إلى مياه جريان سطحي بمتوسط تدفق نوعي قدره  $27,0 \text{ م}^3/\text{ثانية}/\text{كم}^2$ ، وأوصى الباحث بتطبيق نموذج SCS للاستفادة منه في تقدير الموارد المائية للسيول باستخدام بيانات النموذج الرقمي (DEM) على أحواض مائية أخرى لا تحتوي مجاريها على محطات هيدرومترية في المملكة العربية السعودية.

تناول (Saboory, 2014) في دراسته تطبيق نظم المعلومات الجغرافية لاختيار مواقع مشاريع حصاد المياه المناسبة في خلم شمال أفغانستان، حيث اعتمد في دراسته على خرائط الغطاء الأرضي وخريطة DEM وأيضاً المجموعة الهيدرولوجية للتربة والبيانات المناخية للمنطقة، وأجري مسح اجتماعي في منطقة الدراسة لتحديد المعايير من أجل تحديد الموقع المناسبة، حيث أظهرت نتائج الدراسة إلى وجود عددٍ من المناطق المناسبة لإنشاء مشاريع الحصاد، وإخراج خريطة تحدد تلك المناطق التي بدورها تعالج معظم مشكلات نقص المياه في الزراعة.

ودرس (Shereif, 2015) أهمية حصاد مياه الأمطار في المملكة المتحدة، وبالاخص الجزء الجنوبي الشرقي من إنجلترا؛ بسبب تزايد النمو السكاني والتغير المناخي، وإن هذا الجزء يتصنف بندرة الأمطار عن شمال وغرب إنجلترا، وأن هذا النوع من الدراسة يسهم بتقليل مخاطر الفيضانات وتحسين البيئة في المنطقة، حيث اعتمد الباحث في منهج دراسته على اختيار معايير تحديد مناطق الحصاد وجمع البيانات المكانية من خرائط التربة والغطاء الأرضي واستخدامات الأرضي والخريطة الطبوغرافية للمنطقة، وتقدير معامل الجريان السطحي، وبذلك انتجت خرائط لحصاد الأمطار وتغذية المياه الجوفية، حيث توصل الباحث إلى أن المناطق الغربية والجنوبية للمملكة هي مناطق مناسبة لـ Rainwater harvesting (Rainwater harvesting)، التي بدورها تكون مفيدة لصناعة القرار ومخططات الموارد المائية في المملكة المتحدة، وأوصى الباحث بإجراء المزيد من الدراسات المختلفة لتقييمات تجميع مياه الأمطار في المنطقة.

**منهجية الدراسة وأساليبها:**

تحقيقاً لأهداف الدراسة فقد تم الاعتماد على المنهج الاستقرائي التحليلي، والذي يهدف إلى جمع البيانات اللازمة لإعداد الدراسة، وذلك عن طريق الملاحظة الدقيقة للظواهر في صورتها الجزئية، كما تم الاعتماد على كلٌ من: **أولاً: الأسلوب الكارتوغرافي:** حيث يعتمد هذا الأسلوب على دراسة الظاهرة، من خلال الاعتماد على الخرائط الطبوغرافية، وخرائط التربة، والمرئيات الفضائية التي بدورها تساعد في توفير معلومات عن جغرافية منطقة الدراسة.  
**ثانياً: الأسلوب الكمي:** وذلك لتقدير كلٌ من:

- متosteatas هطول الأمطار لكل من محطة (النماص، تنومة، بللسمر، سبت العاليا، الم丐اردة، صمخ) وذلك في الفترة (٢٠٠٣-٢٠١٨م).
- حساب احتمالية سقوط الأمطار وتحديد فترة رجوعها في محطة النماص، وذلك عن طريق تطبيق المعادلات الآتية:

$$(Dunne \& Leopold, \quad p = \frac{m}{n+1} \times 100 \quad (1))$$

1978)

**حيث إن:**

P: احتمالية تكرار كمية الأمطار الهاطلة.  
m: رتبة كمية الأمطار في الترتيب التنازلي.  
n: عدد سنوات التسجيل.

$$(Dunne \& Leopold, \quad Ri = (n + 1)/m \quad (2))$$

1978)

**حيث إن:**

Ri: فترت الرجوع بالسنة.  
n: عدد سنوات التسجيل.  
m: رتبة كمية الأمطار.

- استخلاص قيم المنحنى العددي CNs (Curve Numbers)، والذي يوضح حالة الغطاء الأرضي وهيدرولوجية التربة، حيث إن المجموعة الهيدرولوجية لترفة HSG (Hydrologic Soil Group) قد خُذلت من قبل مصلحة التربة الأمريكية SCS (Soil Conservation Service)، اعتماداً على معدل سرعة انتقال الماء من خلالها كما في جدول (١)، إذ إن القيمة المرتفعة لـ CNs تدل على الأسطح الأقل نفاذية والأكثر قدرة على توليد جريان سطحي مرتفع.

### جدول ١: المجموعة الهيدرولوجية للتربة

نوع التربة	عمق الجريان	صنف التربة
طبقة رملية عميقه مع كمية قليلة جداً من الطين والغرين	قليل	A
طبقة رملية أقل عمقاً من الصنف A مع معدل ارتتاح متوسط	متوسط	B
طبقة طينية محدودة العمق مع معدل ارتتاح دون المتوسط أو طبقة صخرية مغطاة بطبقة من التربة.	فوق المتوسط	C
طبقة طينية سميكه مغطاة بطبقة ضحلة من الغرين الناعم أو طبقة صخرية عارية.	عالٍ	D

المصدر: (USDA, 1986).

وبناءً عليه يتم تقدير الجريان السطحي الذي يعتمد على تحليل بعض المعطيات الطبيعية في منطقة الدراسة كالأمطار، والتربة، واستخدامات الأرضي، بتطبيق عدد من المعادلات الرياضية ضمن بيئة Arc Map، والتي تعد من أهم الطرق والأساليب الرياضية المستخدمة في حساب الجريان السطحي (USDA, 1986). وهي على النحو الآتي:

(USDA, 1986: 2/1)

$$Q = \frac{(P - I_a)^2}{(P - I_a) + S}$$

حيث إن:

Q: عمق الجريان السطحي (ملم).

P: كمية الأمطار الساقطة (ملم).

S: التجمع السطحي الأقصى بعد بداية الجريان السطحي.

Ia: المستخلصات الأولية قبل بدء الجريان السطحي كالتسرب والاستقبال من النبات والتبخّر.

- ويحسب S بالصيغة الرياضية التالية:

$$S = \frac{1000}{CN} - 10$$

حيث تمت إعادة صياغة المعادلة لتحويلها من وحدة البوصلة إلى المقياس المترى، وذلك عن طريق ضرب الأرقام الثابتة في المعادلة في 25.4 لتحويلها إلى (ملم)، وبناءً عليه صيغت المعادلة بالشكل الآتي:

$$S = \frac{25400}{CN} - 254 \quad (٣)$$

ووجد أن Ia تعادل بوجه عام  $\frac{5}{6}$  قيمة S وتحسب كالتالي:

$$I_a = 0.2 S \quad (4)$$

وبجبر قيمة  $S$  حولت الصيغة الرياضية لمعادلة عمق الجريان السطحي كالتالي:

$$Q = \frac{(P - 0.2S)^2}{(P + 0.8S)} \quad (5)$$

- حساب حجم الجريان السطحي السنوي  $V$  (Runoff Velocity) على مستوى الخلايا والأحواض.

$$(USDA, 1986) \quad V = Q * A \quad (6)$$

حيث إن:

$V$ : حجم الجريان السطحي السنوي ( $m^3$ ).

$Q$ : عمق الجريان السطحي السنوي (ملم).

$A$ : مساحة حوض التصريف ( $m^2$ ), علماً بأن ابعاد الخلية الواحدة ( $30 \times 30 m^2$ ).

- مصادر بيانات الدراسة.

تعتمد هذه الدراسة بشكل أساسي على البيانات الثانوية المتمثلة في البيانات الرسمية الصادرة عن المؤسسات الحكومية، ويمكن تصنيفها على النحو الآتي:

- المراجع من الكتب، والمجلات العلمية، والدراسات، والبحوث، والإحصاءات، والتقارير الصادرة من عدد من الجهات والدوائر الحكومية مثل هيئة الأرصاد وحماية البيئة، والهيئة العامة للإحصاء، وهيئة المساحة الجيولوجية.

- البيانات الإحصائية والمتمثلة في بيانات الأمطار للمحطات التابعة لمنطقة الدراسة، والمناطق المجاورة لها للفترة (٢٠١٨-٢٠٠٣)، الصادرة من إدارة تنمية موارد المياه بمنطقة عسير التابعة لوزارة البيئة والمياه والزراعة.

- البيانات المكانية والمتمثلة في كل من:

أ- قاعدة البيانات المكانية الصادرة عن الهيئة العامة لمساحة، التي تحتوي على مجموعة من الطبقات من ضمنها طبقة المنطقة الإدارية عسير ومحافظات التابعة لها، والتي من خلالها تم ربط البيانات وتطبيق عدد من التحليلات لمنطقة الدراسة ضمن برنامج GIS.

ب- خريطة أنواع التربة الرئيسية اعتماداً على بيانات أطلس الموارد الأرضية التابع لوزارة البيئة والمياه والزراعة بمقاييس ١:٦٠٠٠،٠٠٠.

ج- خريطة طبوغرافية لمنطقة، بمقاييس رسم ١:١٠٠٠،٠٠٠.

- د- مرئية فضائية لمنطقة الدراسة، للقمر Sentinel سنة ٢٠١٩ م ذات وضوح مكاني ١٠ م.
- هـ- نموذج بيانات الارتفاعات الرقمية (DEM) لمنطقة الدراسة بدرجة وضوح ٣٠ م.
- و- خريطة نفاذية التربة، اعتماداً على أطلس التربة التابع لوزارة البيئة والمياه والزراعة بمقاييس ١:٥٠,٠٠٠.
- البرامج الحاسوبية:**  
برنامج نظم المعلومات الجغرافية (Arc Map-V10.8.1, Arc Pro) وبرنامج (ERDAS).
- خطوات العمل**

لتحقيق أهداف الدراسة سيتم عمل قاعدة بيانات باستخدام نظم المعلومات الجغرافية، على النظام الإحداثي (UTM\_Zone\_38N) لإجراء التحليلات المكانية، بتطبيق عدد من الخطوات، لمعالجة البيانات وإجراء المعادلات لتقدير حجم الجريان السطحي، والمتمثلة في الخطوات التالية:

- إنشاء طبقة تمثل توزيع الهطول في منطقة الدراسة، وذلك اعتماداً على متوسط التساقط للفترة (٢٠١٨ - ٢٠٠٣) لجميع المحطات المدروسة.
- عمل تصنیف مراقب (Supervised Classification) للمرئية الفضائية ذات دقة مکانية ١م، لتحديد أنواع الغطاء الأرضي في المنطقة، وأيضاً تحديد استخدامات الأرض.
- إنشاء طبقة توضح أصناف الترب الهيدرولوجية بطريقة (SCS)، من خلال مطابقة خصائص كل صنف مع كل نوع من أنواع الترب التابعة لتصنيف الأمريكي، كما ويتم حساب مساحات كل صنف من أصناف التربة الهيدرولوجية (كلم).
- استخلاص الخصائص الهيدرولوجية للمجاري والأحواض المائية لمنطقة الدراسة اعتماداً على بيانات (DEM) بدقة ٣٠ م.
- استخلاص قيم CNs وذلك بدمج طبقتي استعمالات الأرض وطبقة تصنیف المجموعات الهيدرولوجية للتربة، اعتماداً على الحالة الثانية (AMS-II) (Antecedent Soil Moisture Condition)، والتي تعد إحدى الحالات الثلاث لرطوبة التربة، حيث إن الحالة الأولى للترابة الجافة، والحالة الثانية هي الحالة الاعتيادية والتي تشترط وجود التربة الجافة مع أمطار متوسطة الهطول، أما بالنسبة للحالة الثالثة فتشترط سقوط الأمطار خفيفة إلى غزيرة بحيث تكون التربة مشبعة بالماء.
- حساب مُعامل الإمکانية القصوى للاحتفاظ بالماء بعد بدء الجريان السطحي (S).
- حساب معامل الاستخلاص الأولي (Ia)، اعتماداً على نتائج (S).

- يتم حساب عمق الجريان السطحي اعتماداً على معطيات (CNs, S,Ia) وأيضاً يعتمد على طبقة بيانات متosteates الهطول.
- حساب حجم الجريان اعتماداً على بيانات مساحات الأحواض المائية وبيانات عمق الجريان السطحي.
- كما أن اختيار الموقع المثالي لإنشاء مشاريع الحصاد، اعتماداً على البيانات والمعايير التي سيتم تطبيقها وتناسب مع طبيعة المنطقة كما هو موضح في جدول (٢)، حيث تمر مراحل تحديد المناطق الملائمة للحصاد بعدد من الخطوات وهي على النحو التالي:

  - تحويل طبقة بيانات نفاذية التربة، من طبقة خطيه الى نقطيه.
  - اشتقاق بيانات الانحدار من خلال نموذج (DEM) لمنطقة الدراسة.
  - استخلاص طبقة توضح نطاقات البعد عن مراكز القرى والمناطق الحيوية التابعة لها.
  - تصنيف معطيات كل طبقة حسب الأفضلية لكل معيار.
  - تقدير كمية المياه الجارية في كل خلية من خلايا المجاري المائية لكل حوض، اعتماداً على طبقة بيانات عمق الجريان وطبقة Flow Direction.
  - اشتقاق طبقة نقطيه من طبقة المجاري المائية بواسطة أداة Feature Verticesto point.
  - استخراج طبقة توضح قيم بيانات الجريان عند كل نقطه من الطبقة النقطيه.

**جدول ٢: الشروط والمعايير لاختيار الأماكن الأكثر ملاءمة لمشاريع الحصاد .**

الشروط التفضيلية	الشروط
التربة الأقل نفاذية (سم/ساعة)	نفاذية التربة - soil Texture
الانحدار الأقل والأقرب للحصاد (درجة)	الانحدار - slope
المناطق ذات الفرب المناسب (كم)	البعد من المناطق الحيوية
$23 > \text{مليون م}^3$	حجم الجريان السنوي- Volume Runoff
$5 >$	المتوسط الموزون لـجمالي المعايير

### التحليل والمناقشة:

#### دراسة الخصائص المطرية لمنطقة الدراسة

التحليل الكمي والوصفي للخصائص المطرية في محافظة النماص: حيث تختلف معدلات الأمطار الشهرية المتساقطة في منطقة الدراسة، وذلك بناءً على بيانات التساقط المسجلة خلال الفترة (٢٠٠٣-٢٠١٨) في محطة النماص، ومن خلال جدول (٢) وشكل (٣) تبين بأن أعلى متوسط للهطول سُجل في شهر أبريل بحوالي ٦٣,١٧ ملم، ويليه شهر مايو ٣٢,٠١ ملم، ويکاد ينعدم التساقط في شهري أكتوبر وسبتمبر بمتوسط بلغ ٧,١، ٢,٠٢ ملم على التوالي، كما أن متوسط الأمطار المتساقطة تختلف من فصل إلى آخر، ففي فصل الصيف يصل متوسط الأمطار المتساقطة إلى حوالي ٤٢,٤٠ ملم، بينما في فصل الربيع يصل متوسط التساقط إلى ٥٠,٤٢ ملم، وفي فصل الشتاء يصل إلى ٥٨,٧١ ملم، ويعود فصل الخريف أقل فصول السنة تساقطاً وذلك بمقدار ٣٠,٢٩ ملم، وعليه فإن تساقط الأمطار يكون على مدار السنة نتيجة لتكون السحب الركامية خصوصاً في المرحلة الانتقالية وبالتحديد فصل الربيع، الذي تصاحبـه رياح وعواصف رعدية تنتج عنها أمطار بكميات كبيرة تتسبب في سيول جارفة.

جدول ٣: متوسط الأمطار الشهرية (ملم) لمحطة النماص من عام (٢٠٠٣-٢٠١٨).

الشهر	المجموع	الشهر	المجموع
يناير	٢٨,٤١	يوليو	١٤,٩٦
فبراير	١٥,٣٥	اغسطس	٢٧,٩٦
مارس	١٢,٣٥	سبتمبر	٢٠,٢
ابريل	٦٣,١٧	اكتوبر	٧,١
مايو	٣٢,٠١	نوفمبر	٢١,١٧
يونيو	٧,٥	ديسمبر	١٤,٧٧

المصدر: إعداد الباحثة اعتمد على بيانات وزارة البيئة والمياه والزراعة.

شكل ٢: متوسط الأمطار الشهرية (ملم) لمحطة النماص من عام ٢٠٠٣-٢٠١٨.



المصدر: إعداد الباحثة اعتماد على بيانات وزارة البيئة والمياه والزراعة.  
ويتبين من خلال شكل (٣)، أن كمية الأمطار السنوية في محطة النماص تتباين بالتدبر من سنة إلى أخرى خلال السنوات المدروسة، حيث بلغت أعلى كمية للأمطار المتتساقطة في سنة ٢٠٠٥ م (٤٩٠,٣) ملم وأقل كمية سنة ٢٠١٥ م (٤٤) ملم، أما بالنسبة لعدد السنوات التي تقل فيها كمية التساقط عن المتوسط (٢٨٩,١١) ملم، فبلغت ١٣ سنة بينما وصل عدد السنوات التي زادت فيها كمية الأمطار عن المتوسط إلى ٤ سنوات.

شكل ٣: كمية الأمطار السنوية (ملم) من عام (٢٠٠٣-٢٠١٨) لمحطة النماص



المصدر: إعداد الباحثة اعتماد على بيانات وزارة البيئة والمياه والزراعة.  
فترات الرجوع واحتمالية سقوط الأمطار في محافظة النماص: المقصود بها هي الفترة الزمنية المتوقعة تكرار كمية معينة من الأمطار، ويعد حسابها من الأمور المهمة عند القيام بالمشاريع البشرية، مثل تخطيط المدن ومد الطرق، ومن الجانب الطبيعي حفظ التربة وصيانة العديد من الموارد الطبيعية (ابو سموره و الخطيب، ١٩٩٩)، حيث يتم حسابها عن طريق تحديد أعلى كمية تساقط في كل السنوات المدروسة للمحطة، وترتيب ترتيباً تناظرياً وتعطى كل قيمة للتساقط رتبة حسب تسلسلها، فأعلى كمية تحمل رتبة (١) وهكذا، وبناءً عليه يتم تطبيق معدلات فترات الرجوع ونسبة احتمالية السقوط، والتي تم توضيحيها في منهجية الدراسة معاذلة (١)، (٢).

وجاءت النتائج حسب ما يظهر في جدول (٤)، حيث احتلت المرتبة الأولى كمية هطول بلغت ٤٩٠،٣ ملم وذلك في عام ٢٠٠٥م، والتي تكون احتمالية رجوعها كل ١٧ سنة بنسبة تتجاوز ٥%， وتزيد نسبة احتمالية الرجوع إلى أكثر من ٢٣٪ عند كمية هطول ٤١٢،٦ ملم وذلك بفترة رجوع تتجاوز ٥ سنوات، كما ويتحمل حدوث هطول مطري بمقدار ٢٦٥ ملم مرة كل سنتين وذلك بنسبة احتمالية تصل إلى ٤٪، أما الهطول الذي يقل عن ١٨٥،٥ ملم احتمالية سقوطه تزيد عن ٦٤٪، ومن الملاحظ أن نسبة احتمالية الرجوع تزداد كلما قلت كمية الهطول السنوي.

**جدول ٤: كمية الأمطار السنوية (ملم) المحتمل سقوطها وفترة رجوعها في محطة النماص (٢٠٠٣-٢٠١٨م)**

السنة	كمية الأمطار (ملم)	ترتيب كمية الأمطار	فتره الرجوع (بالسنة)	احتمالية سقوط الأمطار (%)
٢٠٠٥	٤٩٠,٣	١	١٧,٠٠	٥,٩
٢٠٠٧	٤٨٢,١	٢	٨,٥٠	١١,٨
٢٠١٠	٤١٨	٣	٥,٦٦	١٧,٦
٢٠٠٦	٤١٢,٦	٤	٤,٢٥	٢٣,٥
٢٠٠٩	٢٧٠,٥	٥	٣,٤٠	٢٩,٤
٢٠١٢	٢٦٥	٦	٢,٨٣	٣٥,٣
٢٠١٧	٢٦٥	٧	٢,٤٢	٤١,٢
٢٠٠٨	٢٢٤,٢	٨	٢,١٣	٤٧,١
٢٠٠٤	٢٢٣,٥	٩	١,٨٩	٥٢,٩
٢٠١٣	٢١٦	١٠	١,٧٠	٥٨,٨
٢٠١١	١٧٥,٥	١١	١,٥٥	٦٤,٧
٢٠٠٣	١٦٣,٦	١٢	١,٤٢	٧٠,٦
٢٠١٦	١١٥	١٣	١,٣١	٧٦,٥
٢٠١٨	١١٥	١٤	١,٢١	٨٢,٤
٢٠١٤	٦١	١٥	١,١٣	٨٨,٢
٢٠١٥	٤٤	١٦	١,٠	٩٤,١

المصدر: إعداد الباحثة اعتمد على بيانات وزارة البيئة والمياه والزراعة.

الاختلاف بين كمية الأمطار في محطة النماص والمحطات المجاورة لها: تتفاوت كميات الأمطار بالمحطات المدروسة برغم من قربها الجغرافي من محافظة النماص، وذلك يعود إلى عدد من العوامل التي تؤثر بشكل مباشر على اختلاف كمية التساقط في محطات الدراسة، والغرض من تضمين المحطات المجاورة لمنطقة الدراسة هو الحصول على صور واضحة وشاملة تمكن من المقارنة، بدلاً من معاملة المنطقة بمعزل عن المناطق المجاورة لها، وعند النظر إلى جدول (٥) وشكل (٤) نجد أن النماص تحتل المرتبة الأولى في كمية الأمطار المتتساقطة، والذي بلغ ٤٦٢٥,٧ ملم، ليليها محافظة سبت العالياً بكمية تساقط بلغت ٢٥١,٩ ملم، بينما تحتل محافظة بلسمر المرتبة الثالثة بنحو ٣٢٢٤ ملم، أما بالنسبة للمحطات المتبقية فجاءت كميات التساقط فيها أقل من ٢٥٠٠ ملم.

**جدول ٥: كمية التساقط المطري السنوي (ملم) للمحطات المدروسة من عام ٢٠١٨-٢٠٠٣ م.**

السنة	النماص	سبت العاليا (بلقرن)	المجاردة	بليسمر	تنومه	صمخ
٢٠٠٣	١٦٣,٦	٢٩١,١	٠	٢٢,٥	٣٤	٠
٢٠٠٤	٢٢٣,٥	٣٤٠,٤	٣٢,٦	٢٤١,٧	١٦٦	٧١
٢٠٠٥	٥٨٩,٧	٢٧٤,٢	٠	٣٥٥,٣	٩٢	٧٠
٢٠٠٦	٤١٢,٦	٣٢٣,٣	٢٠٨,٥	٣٩٦,٢٥	٤٧٧	٩٨
٢٠٠٧	٨٨١,٦	٢٧٦,٣	١٠٠,٥	١٦٢,٥	٨٤	١٦
٢٠٠٨	٢٣٣,٢	١٦٥,٦	٢٨٨	٢١٧,٥	٤٣	٢٥
٢٠٠٩	٣٩٢	٢٧٢,٥	٢٠١	٢٤,٥	٤٢	٤١
٢٠١٠	٤١٨	٣٥١,١	٠	٢٢٢,٧٥	١٣٦	٤٢
٢٠١١	٢٣٠,٥	٢٢٨,٥	٠	١٢٨	١١٩	١٤
٢٠١٢	٢٦٥	٢١٠,٥	٠	٢٣٧	٣٦٤	٧٧
٢٠١٣	٢١٦	١٦٢,٥	٢٢٥,٩	٢٧٩,٥	١٠٨	٧٤
٢٠١٤	٦١	١٧٦	٠	١٤١,٥	١٦٣	١٨
٢٠١٥	٤٤	١٧٧	٢٠٤,٢	١٧٤,٥	٦٨	٧٤
٢٠١٦	١١٥	٤٠٧	٣٠٢,٥	٣١٣,٥	٤١٧	١٢٢
٢٠١٧	٢٦٥	٢٩٥	٢١٦	١٥١	١١٨	٣٣
٢٠١٨	١١٥	٦٨	٣٠٩	١٥٦	٦٠	٠
المجموع	٤٦٢٥,٧	٤٠١٩	٢٠٨٨,٢	٣٢٢٤	٢٤٩١	٧٧٥
المتوسط	٢٨٩,١١	٢٥١,١٩	١٣٠,٥١	٢٠١,٥	١٥٥,٦٩	٤٨,٤٤

المصدر: إعداد الباحثة اعتماد على بيانات وزارة البيئة والمياه والزراعة.

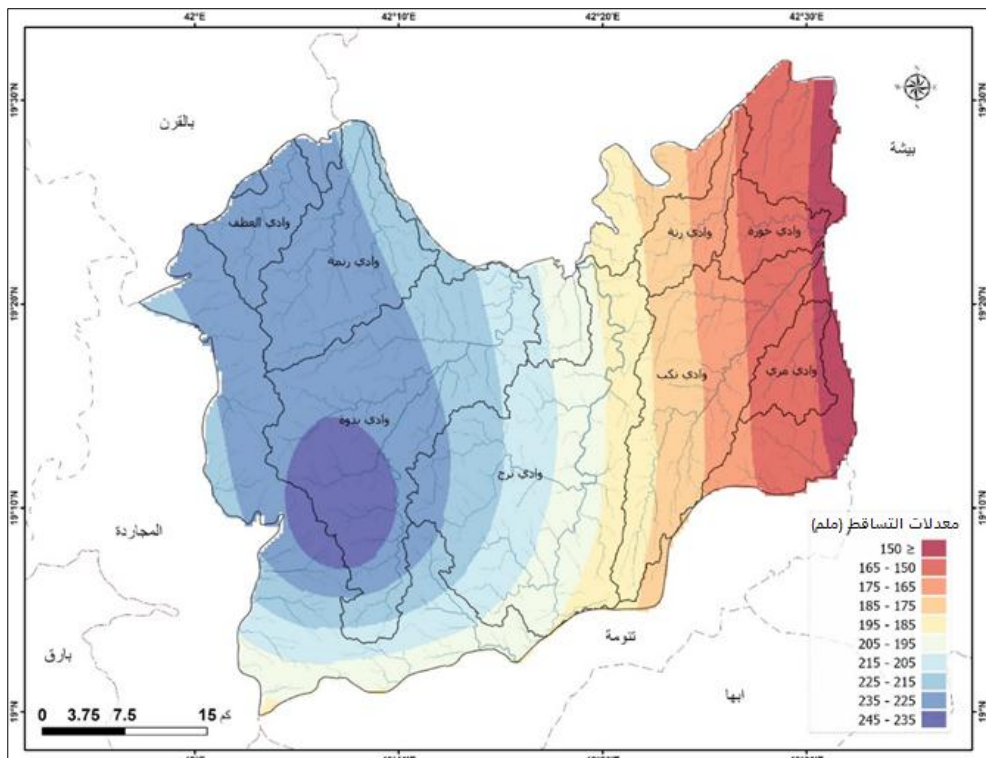
شكل ٤ : كمية التساقط المطري (ملم) للمحطات المدروسة من عام ٢٠١٨-٢٠٠٣ .



المصدر: إعداد الباحثة اعتماد على بيانات وزارة البيئة والمياه والزراعة.

وبناءً على قيم المتوسطات المستخرجة لجميع المحطات المدروسة، تم عمل اشتراق مكاني بواسطة أداة (IDW)، والتي تقوم بالتبؤ وإعطاء قيم للموقع غير المقاسة، بحيث أن القيم المقاسة والأقرب إلى موقع التنبؤ لها تأثير أكبر على القيم المتوقعة القريبة فضلاً عن البعيدة، يعني ذلك بأن القيم المعلومة لها تأثير محلي يتضاعل مع المسافة كما هو موضح في شكل(٥)، وذلك للحصول على صورة شاملة ومقاربة لواقع توزيع الأمطار في المنطقة، وعليه يمكن حساب معدلات الجريان السطحي للمجاري والأحواض المائية.

**شكل ٥: معدلات التساقط (ملم) للمنطقة بناءً على متوسطات محطات الدراسة للفترة (٢٠٠٣-٢٠١٨) للمحطات المدروسة**



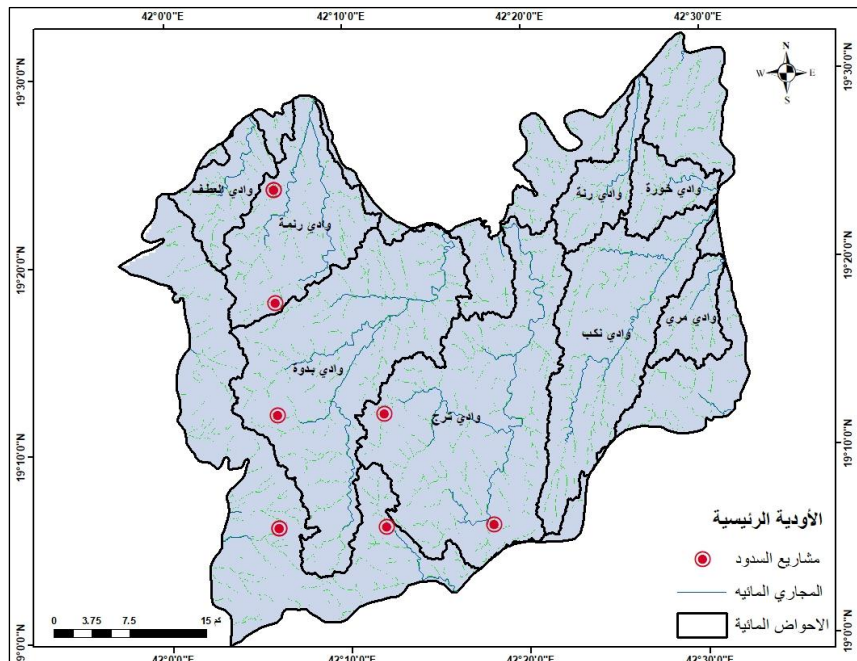
المصدر: إعداد الباحثة اعتمد على بيانات وزارة البيئة والمياه والزراعة (٢٠٠٣-٢٠١٨) .

► **تقدير حجم الجريان السطحي في الأحواض المائية.**  
**- خصائص الأحواض في منطقة الدراسة:** تم تحديد الأحواض المائية في المنطقة، وحساب مساحة كل حوض كما في جدول (٦)، وأيضاً من خلال الشكل (٦) والذي يوضح المجاري الرئيسية والأحواض التابعة لها، وأيضاً موقع السدود المقامة حالياً في المنطقة والتي من الممكن مقارنتها بالموقع المقترحة والتي سيتم التوصل إليها في نهاية هذا الفصل.

**جدول ٦: مساحات الأحواض المائية في منطقة الدراسة**

النسبة (%)	المساحة (كم²)	الحوض
٣,٢٥	٦٩,٤٤	وادي العطف
٢٧,٦٤	٣٧٦,٥٤	وادي بدوة
١٨,٥٨	٣٩٦,٦٥	وادي ترج
٢,٤٣	٥١,٨٤	وادي خورة
٣,٠٥	٦٥,٠٠	وادي رنة
٨,١٨	١٧٤,٥٥	وادي رنمة
٢,٤٠	٥١,٢٢	وادي مري
١١,٤٢	٢٤٣,٧٠	وادي نكب
٣٣,٠٥	٧٠٥,٥٦	أحواض أخرى

**شكل ٦: المجرى والأحواض المائية في منطقة الدراسة وموقع مشاريع السدود الحالية**



المصدر: إعداد الباحثة اعتماداً على بيانات وزارة البيئة والمياه والزراعة

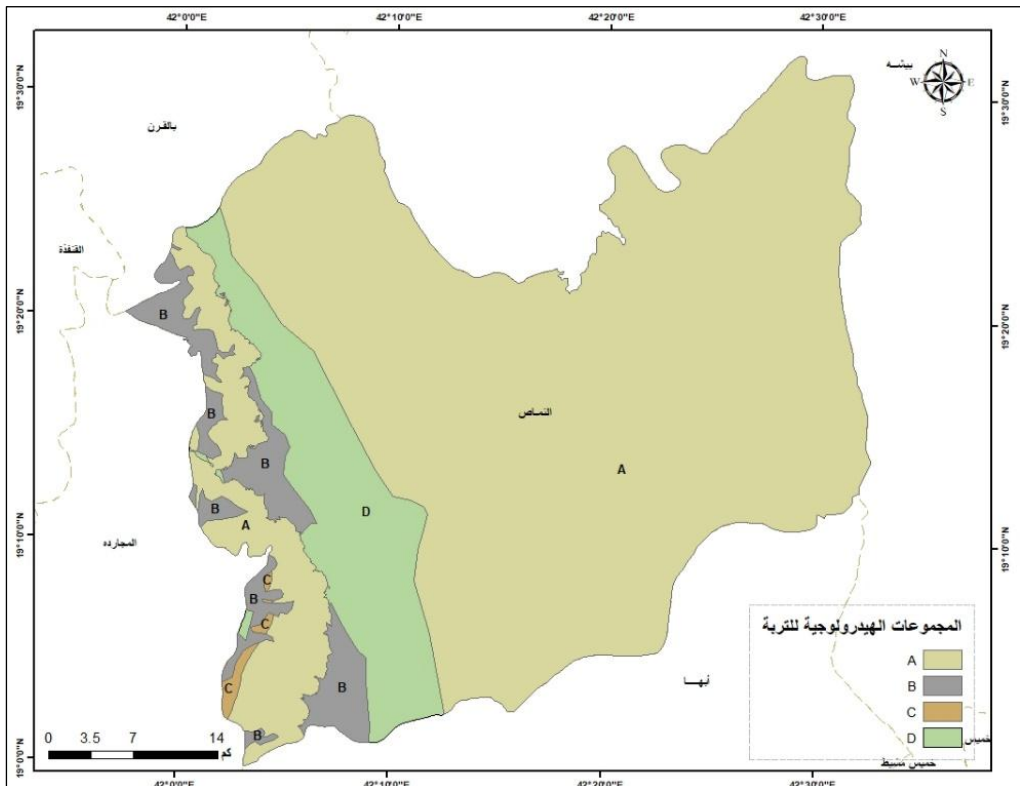
- **الخصائص الهيدرولوجية لترابة المنطقة:** لخصائص التربة تأثير على كمية الجريان السطحي الناتج عن التساقط المطري، حيث لا بد من أخذها بعين الاعتبار في عمليات حساب حجم الجريان، ومن خلال معطيات خريطة التربة حسب التصنيف الأمريكي التابع لأطلس الموارد الأرضية، تم تصنيف كل نوع حسب المجموعات الهيدرولوجية (A-B-C-D) تبعاً لخصائصها الفزيائية (USDA, 1986)، ويتضح من خلال جدول(٧) وشكل(٧) (التصنيف)، وهو كالنحو التالي:
  - التربة من الفئة A: والتي تمثل المنطقة التي يقل فيها الجريان السطحي وتحتوي على تربة طميّة ورملية، والتي تغطي الجزء الأكبر من مساحة منطقة الدراسة حيث توجد في الجبال والتلال والتي تكون على نطاقين الجهة الشرقية لمنطقة وأيضاً النطاق الغربي ويمتد من الجنوب ويضيق في الشمال وتقدر مساحته بنحو ٢٢,٦٨ كم<sup>٢</sup> وبنسبة تزيد عن ٨١% من مساحة منطقة الدراسة.
  - التربة من الفئة B: هي تربة ذات قوام خشن لمتوسط الخشونة، وذات عمق متوسط، حيث تغطي مناطق السهول الروسوبية والمنحدرات المدرجة بمساحة تبلغ ١٢١,٦٨ كم<sup>٢</sup> وذلك بنسبة ٥% من مساحة المحافظة.
  - التربة من الفئة C: تتميز هذه التربة ببنادية متوسطة إلى ضعيفة حيث تغطي مناطق السهول الصخرية في المنطقة بمساحة بلغت ٩٨,٩٧ كم<sup>٢</sup> وبنسبة ٣٧% من إجمالي مساحة منطقة الدراسة.
  - فئة التربة D: تتميز هذه الفئة بأنها أقل الفئات قدرة على امتصاص الماء والتي تكون ذات قوام طيني وناعم مما يسبب نشوء الجريان السطحي، حيث تتحصّر هذه الفئة في المرواح الروسوبية والمنحدرات السفلية في المنطقة بمساحة تبلغ ٢٥٦,٧٩ كم<sup>٢</sup> بنسبة ١٢% من المساحة.

**جدول ٧: توزيع المجموعات الهيدرولوجية على أنواع التربة في منطقة الدراسة**

نسبة المئوية %	المساحة (كم <sup>٢</sup> )	أصناف بطريقة (SCS) <sup>(٢)</sup>	أنواع التربة حسب تصنيف الأمريكي <sup>(١)</sup>
٨,٤٤	١٨٠,٦٨	A	توري أورثنتس
٢,٦٥	٥٦,٧٣	B	كالسي أورثيدز
٧٣,٥١	١٥٧٣,٥٤	A	توري سامنتس
٣,٠٣	٦٤,٩٥	B	توري فلوفنتس-توري سامنتس
٠,٣٧	٧,٩٨	C	ليثك توري أورثنتس- زورو أورثنتس
١٢	٢٥٦,٧٩	D	كالسي أورثيدز و توري أورثنتس
١٠٠	٢١٤٠,٧		المجموع

المصدر: (١) اطلس الموارد الأرضية لوزارة البيئة والمياه والزراعة ١٤١٥، ٥، (٢) USDA RT55, 1986.

شكل ٧: المجموعات الهيدرولوجية للتربة منطقة الدراسة.



المصدر: أطلس الموارد الأرضية لوزارة البيئة والمياه والزراعة ١٤١٥، (USDA RT55, 1986).

- **كمية الأمطار الساقطة:** تعد الأمطار المصدر الرئيسي لنشوء وتكون الجريان السطحي، ولحساب حجم الجريان يتطلب تقدير كمية الأمطار الساقطة على المنطقة، وذلك بناءً على اشتقاق متوسطات كمية الأمطار السنوية خلال ١٦ سنة لكل من محطة منطقة الدراسة والمناطق المجاورة لها بواسطة أداة (IDW)، والتي تم اشتقاقها في (شكل ٥)، حيث نجد أن معدلات المطر في منطقة الدراسة تتراوح بين (١٥٠ - ٢٤٥) ملم وذلك على مستوى الخلايا.

- استخدامات الأرض والغطاء الأرضي:

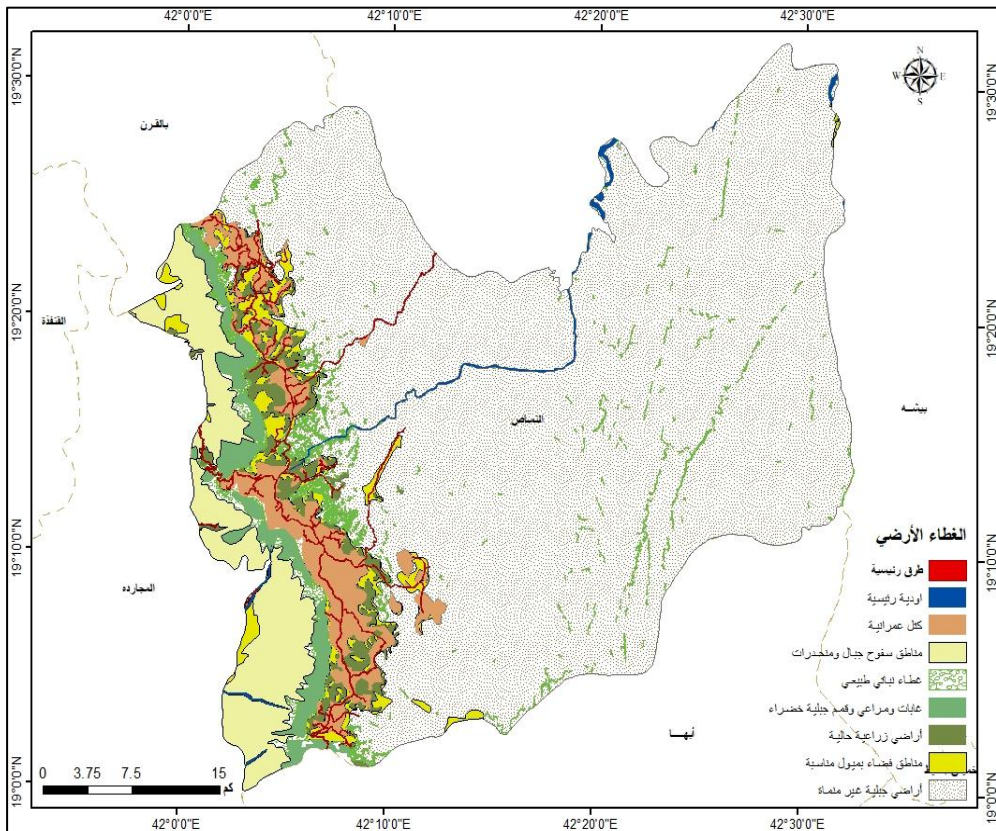
يؤثر الغطاء الأرضي و استخدامات الأرض على حجم الابراد المائي في الأحواض المائية، حيث تم تصنیف الغطاء الأرضي واستخدامات الأرض بناءً على بيانات المرئية الفضائية(Sentinel 2019) ذات دقة ١٠م، حيث تم عمل تصنیف مراقب (Supervised Classification) للمرئية الفضائية، لتحديد أنواع الغطاء الأرضي في المنطقة، وأيضاً تحديد استخدامات الأرض، وذلك من خلال تجميع بصمات طيفية لكل فئة من فئات التصنیف اعتماداً على أداة (Signature Editor) في برنامج (ERDAS)، حيث احتوى الغطاء الأرضي على عدد من الظواهر منها الأودية الرئيسية ومناطق سفوح الجبال وغطاء النبات الطبيعي والغابات والمراعي والأراضي الزراعية، ومناطق الفضاء، كما هو موضح من خلال جدول (٨) و شكل (٨).

جدول ٨: بيانات الغطاء الأرضي واستخدامات الأرض بمحافظة النماص.

نوع الغطاء الأرضي	المساحة / كم²	المساحة %
طرق رئيسية	١٣,٢٩	٠,٦
أودية رئيسية	١٠,١٧	٠,٤٦
مناطق سفوح جبال ومنحدرات.	١٥٧,٤٢	٧,١
كتلة عمرانية.	١٠٤,٣٣	٤,٦٩
غطاء نباتي طبيعي.	٤٢,٥٩	١,٩٢
غابات ومراعي وقمم جبلية خضراء.	٥٨,٠٤	٢,٦١
أراضٍ زراعية حالية	١٠١,١٨	٤,٥٦
مناطق فضاء بميول مناسبة	٩٤,٩٢	٤,٢٧
أراضٍ جبلية غير منعة	١٦٣٩,١٥	٧٣,٧٩
المجموع	٢٢٢١,٠٩	% ١٠٠

المصدر: عمل الباحثة اعتماداً على بيانات المرئية الفضائية ٢٠١٩ Sentinel

**شكل ٨: تصنیف استخدامات الأرضي والغطاء الأرضي لمحافظة النماص.**



**المصدر: عمل الباحثة اعتماداً على بيانات المرئية الفضائية ٢٠١٩ - Sentinel**

**حساب الجريان السطحي**

قامت مصلحة صيانة التربة الامريكية (SCS) بإجاد صيغ رياضية لحساب الجريان السطحي، والتي يعتمد عليها في الدراسات الهيدرولوجية الامريكية (العامدي، ١٩٩١م)، وهي عبارة عن عدد من المعادلات الرياضية والتي تتطلب ما يلي:

### استخلاص قيمة المنحنى العددي (CNs) لأحواض محافظة النماص:

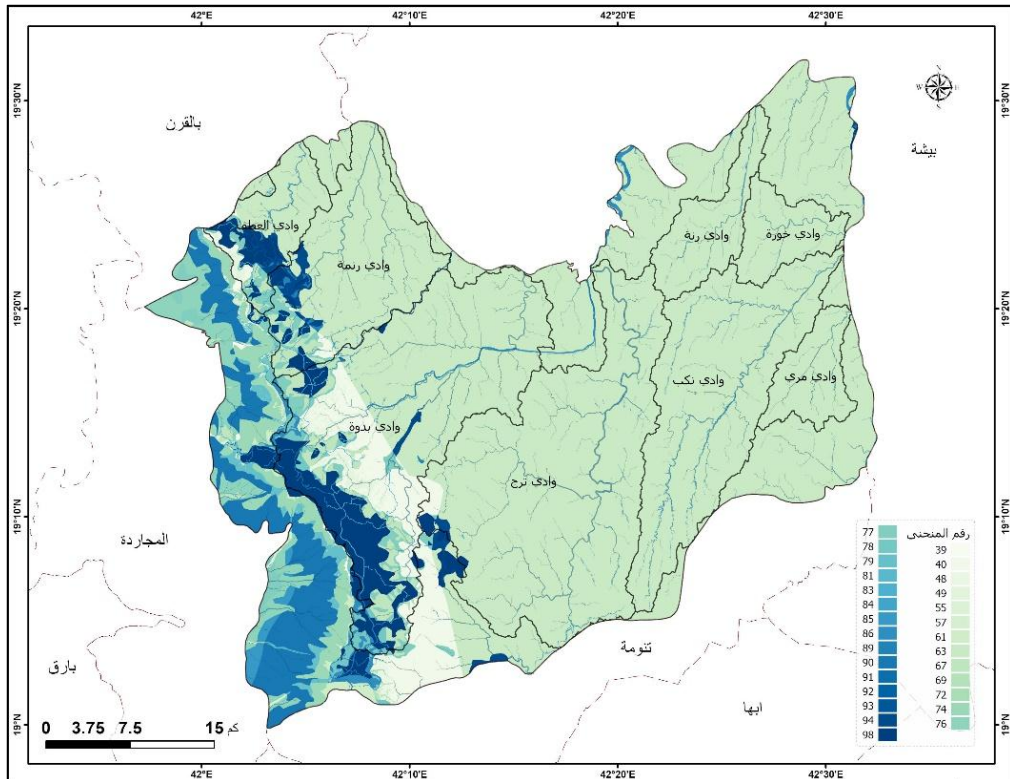
تعبر قيم CNs عن مدى استجابة الأسطح للجريان، وذلك من خلال دمج طبقتي المجموعة الهيدرولوجية للتربة وطبقة استعمالات الأرض من خلال خوارزمية Raster Calculator واستخلاص قيم المنحنى العددي، اعتماداً على جداول تابعة لقرير الصادر من مصلحة صيانة التربة الأمريكية (Technical Release 55) حيث يتمأخذ قيم المنحنى العددي وفقاً لسمى الغطاء الأرضي حسب USDA وما يقابلها من صنف التربة الهيدرولوجية، وذلك اعتماداً على الحالة المعتدلة للرطوبة المسبيقة للتربة (AMS-II)، والتي تعد الحالة الثانية هي ما يؤخذ بها غالباً في المناطق شبه الجافة لاستخلاص قيم CNs (USDA RT55, 1986). وعليه فقد بلغت قيمة CNs (٢٨) كما هو موضح من خلال الجدول (٩)، والتي تتراوح بين (٣٩) للمناطق الأكثر نفاذية و(٩٨) للمناطق ذات نفاذية أقل والأكثر إمكانية لتوليد الجريان السطحي.

جدول ٩: قيم CNs (Curve Number) للمجموعات الهيدرولوجية للتربة

D	C	B	A	استعمالات الأرضي حسب * USDA	الغطاء الأرضي
٨٦	٨١	٧٢	٥٥	Desert shrub—major plants include saltbush, geasewood, creosotebush, blackbrush, bursage, palo verde, mesquite, and cactus.	الأودية الرئيسية
٩٣	٩٢	٨٩	٨٣	Streets and roads Paved; open ditches (including right-of-way)	الطرق الرئيسية
٩٨	٩٨	٩٨	٩٨	Paved parking lots, roofs, driveways, etc	الكتل العمرانية
٨٤	٧٩	٦٩	٤٩	Fair condition (grass cover 50 to 75%)	غطاء نباتي طبيعي
٨٩	٨٥	٧٨	٦٧	Row crops	أراضي زراعية حالية
٨٠	٧٤	٦١	٣٩	Good condition (grass cover >75%)	غابات ومراعي وقمة جبلية خضراء
٩٣	٩٠	٨٥	٧٦	Fallow	مناطق سفوح جبال ومنحدرات
٦٣	٥٧	٤٨	٤٠	Oak-aspen—mountain brush mixture of oak brush, aspen, mountain mahogany, bitter brush, maple, and other brush	أراضي جبلية غير منمأة
٩٤	٩١	٨٦	٧٧	Fallow	مناطق فضاء بسيول مناسب.

المصدر: عمل الباحثة بالاعتماد على برنامج Arc map ، Technical 2-7\* . Release 55 Urban Hydrology for Small Watersheds

شكل ٩: توزيع قيم (CNS) في منطقة الدراسة.



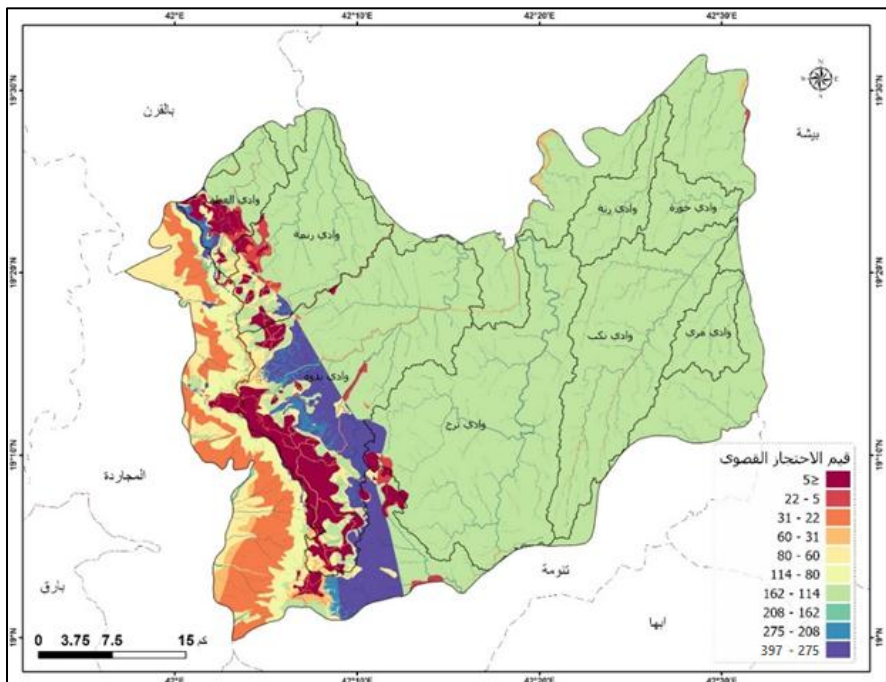
المصدر: عمل الباحثة بالاعتماد على برنامج Arc map

- حساب معامل الإمكانية القصوى للاحتفاظ بالماء بعد بدء الجريان Potential Maximum Retention After S (سييس معامل S):  
 السطحي (Runoff): إمكانية الاحتفاظ بالماء في التربة، وذلك بعد بدء الجريان السطحي وتشبع التربة تماماً بالماء وتوقف عملية التسرب، وذلك اعتماداً على نوع التربة والغطاء الأرضي والذي يتمثل في القيم المستخلصة لـ CNS)، حيث تم تطبيق المعادلة (٣) بواسطة اداة Raster Calculator، في برنامج Arc Map و الوصول إلى قيم الإمكانية القصوى للاحتفاظ بالماء على مستوى الخلايا في منطقة الدراسة والموضحة في شكل (٦-٥)، حيث دلت القيم القريبة من الصفر إلى تدني إمكانية

التربة من الاحتفاظ بالماء على الأسطح بعد بدء الجريان السطحي، والذي يؤدي إلى ارتفاع كمية المياه الجارية. كما وان قيمة الوسيط للمعامل ( $S$ ) تعادل ٤٥ ملم، وهو رقم ثابت يتمثل في معدل احتفاظ التربة للماء مع معدل المياه الجارية على السطح، والتي تم الحصول عليها من خلال العديد من التجارب التي قامت بها (USDA)، حيث ترتفع إمكانية احتفاظ التربة للماء على السطح كلما زادت قيمة( $S$ ) عن قيمة الوسيط (USDA RT55, 1986).

ويتبين من خلال الشكل (١٠) وجدول (١٠)، وجود تباين في توزيع قيم إمكانية احتفاظ التربة بالماء، حيث بربت القيم المستخلصة (٣٩٧-٢٧٥ ملم) بأنها أعلى قيمة في منطقة الدراسة، والتي تعد أعلى من قيمة الوسيط الثابتة (٤٥ ملم)، حيث تتميز بالقدرة المرتفعة للاحتفاظ بالماء على سطح التربة والذي يقل الجريان السطحي مما ينتج عن ذلك تجمع للمياه في هذه المنطقة، كما وتغطي القيم (١١٤-١٦٢ ملم) المساحة الأكبر من منطقة الدراسة والتي ترتفع فيها احتمالية الجريان السطحي مما يقابلها قلة إمكانية التربة بالاحتفاظ بالماء و تكون الجريان السطحي.

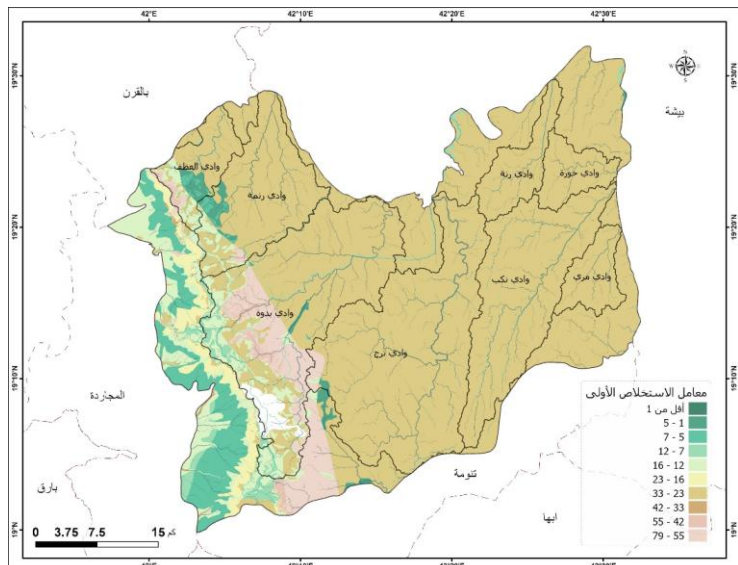
**شكل ١٠ : توزيع قيم معامل إمكانية القصوى على مستوى الخلايا (S) .**



المصدر: عمل الباحثة بالاعتماد على برنامج Arc map

حساب معامل الاستخلاص الأولي (Ia): يقوم معامل الاستخلاص Ia abstraction بتقدير المفقود من مياه الأمطار قبل بدء الجريان السطحي والتي تفقد عن طريق التبخر، أو التسرب، أو تجمع المياه في مناطق المنخفضات، وترتبط قيمها بشكل كلي بقيم معامل الإمكانية القصوى للاحتفاظ بالماء بعد بدء الجريان السطحي (S)، حيث تساوي قيمة (Ia) حسب بيانات مصلحة صيانة التربة الأمريكية  $\frac{1}{2}$  قيمة (S)، كما يبلغ قيمة الوسيط الثابت للمعلم (Ia) ٨,٥٠ ملم والتي يصبح فيه معدل الاستخلاص الأولي مساوياً لمعدل المياه الجارية على السطح، واما اذا ارتفعت قيمة (Ia) عن الوسيط دل ذلك على فقدان الامطار وبالتالي تتحفظ كمية المياه الجارية على السطح (USDA RT55, 1986). واعتماداً على القيم التي تم حسابها لمعامل الإمكانية القصوى (S) تم تطبيق المعادلة (٤) وذلك وفقاً لأداة Raster Calculator لاستخراج قيم (Ia) حيث أوضحت النتائج من جدول (١٠)، أن أغلب القيم سُجلت أقل من الوسيط البالغ ٨,٥٠ ملم، حيث إن المناطق ذات القيم الأعلى من الوسيط تميزت بكثافة في الغطاء النباتي، بينما المناطق الأقل فقد للمياه تحت النسبة الأكبر من مساحة منطقة الدراسة والموضح من خلال الشكل (١١) حيث توجد غالباً في المناطق الصخرية والمناطق الفقيرة والشبه منعدم فيها الغطاء النباتي.

**شكل ١١: توزيع قيم معامل الاستخلاص الأولي (Ia)**



المصدر: عمل الباحثة بالاعتماد على برنامج Arc map

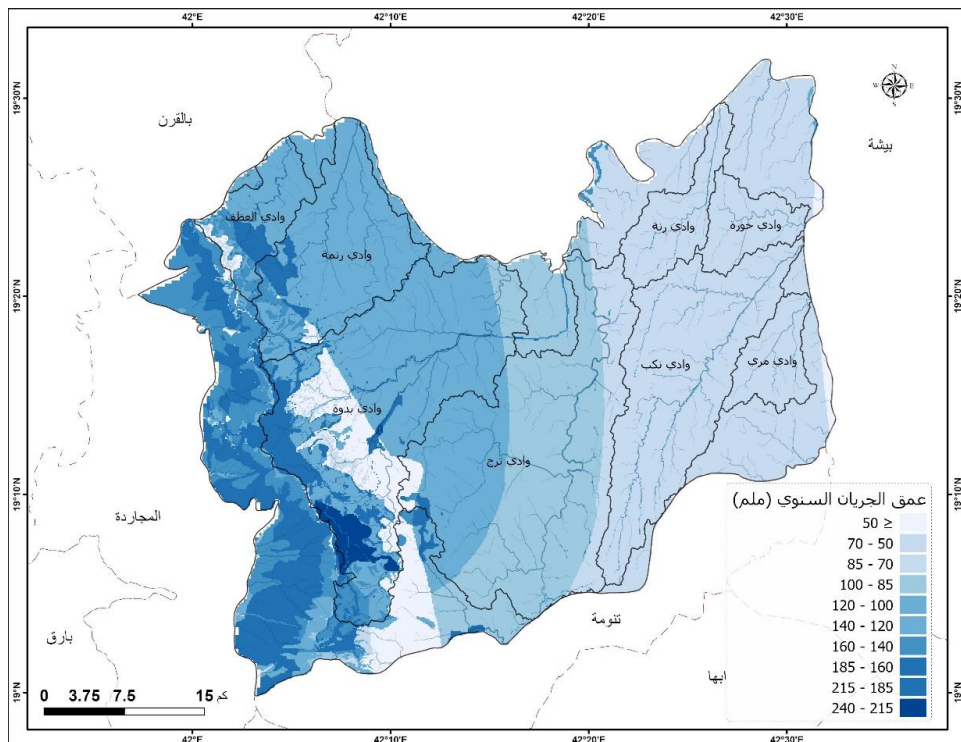
### جدول ١٠: قيم CNs وحساب معادلات (Ia) (S)

Ia	S	CNs		Ia	S	CNs	
١٤	٧٢	٧٨	١٥	٧٩	٣٩٧	٣٩	١
١٣	٦٨	٧٩	١٦	٧٦	٣٨١	٤٠	٢
١٢	٦٠	٨١	١٧	٥٥	٢٧٥	٤٨	٣
١١	٥٢	٨٣	١٨	٥٣	٢٦٤	٤٩	٤
١٠	٤٨	٨٤	١٩	٤٢	٢٠٨	٥٥	٥
٩	٤٥	٨٥	٢٠	٣٨	١٩٢	٥٧	٦
٨	٤١	٨٦	٢١	٣٣	١٦٢	٦١	٧
٧	٣١	٨٩	٢٢	٣٠	١٤٩	٦٣	٨
٦	٢٨	٩٠	٢٣	٢٥	١٢٥	٦٧	٩
٥	٢٥	٩١	٢٤	٢٣	١١٤	٦٩	١٠
٤	٢٢	٩٢	٢٥	٢٠	٩٩	٧٢	١١
٣,٨	١٩	٩٣	٢٦	١٨	٨٩	٧٤	١٢
٣	١٦	٩٤	٢٧	١٦	٨٠	٧٦	١٣
١	٥	٩٨	٢٨	١٥	٧٦	٧٧	١٤

- تقدير عمق الجريان(Q):

يعبر Q (Runoff) عن خلاصة تفاعل الامطار الساقطة مع مكونات وخصائص احواض التصريف، حيث يؤثر نوع الغطاء الأرضي ونفاذية التربة في كمية المياه الجارية، وبناءً عليه فإن تقدير عمق الجريان يتطلب قيمه للأمطار الساقطة (P)، كما ويعتمد على طبقة قيم (S) و(Ia)، حيث طبقة المعادلة الرياضية رقم (٥) ضمن برنامج Arc map إعتماداً على أداة (Calculator Raster)، وتم التوصل الى طبقة تبين أعماق الجريان على مستوى الخلايا والتي تتراوح معادلاتها بين (٥٠ – ٢٤٠ ملم) والموضح من خلال شكل(١٢)، كما وتم استخراج متواسطات أعماق الجريان السطحي لكل حوض والمتمثلة في جدول (١١)، حيث يتضح من خلاله ان ادنى متواسط لعمق الجريان بلغ ٥٧ ملم وذلك في حوض وادي مري بينما أعلى متواسط لعمق سُجل في حوض وادي العطف بمعدل ٢٩ ملم.

شكل ١٢ : عمق الجريان السنوي (ملم)



المصدر: عمل الباحثة بالاعتماد على برنامج Arc map

جدول ١١ : متوسط عمق الجريان السنوي (ملم).

النسبة (%)	المساحة (كم²)	متوسط عمق الجريان السنوي (ملم)	الحوض
٣,٢٥	٦٩,٤٤	١٢٩,٢	وادي العطف
١٧,٦٤	٣٧٦,٥٤	١١٦,٤	وادي بدوة
١٨,٥٨	٣٩٦,٦٥	٩٤,٢	وادي ترج
٢,٤٣	٥١,٨٤	٦٠,٥	وادي خورة
٣,٠٥	٦٥,٠٠	٧١,٧	وادي رنة
٨,١٨	١٧٤,٥٥	١٢١,٢	وادي رنمة
٢,٤٠	٥١,٢٢	٥٧,٣	وادي مري
١١,٤٢	٢٤٣,٧٠	٧٢,٧	وادي نكب
٣٣,٠٥	٧٠٥,٥٦	١٠٩,١	أحواض أخرى
١٠٠	٢١٣٤,٥	٨٣٢,٣	المجموع

المصدر: عمل الباحثة بالاعتماد على برنامج Arc map

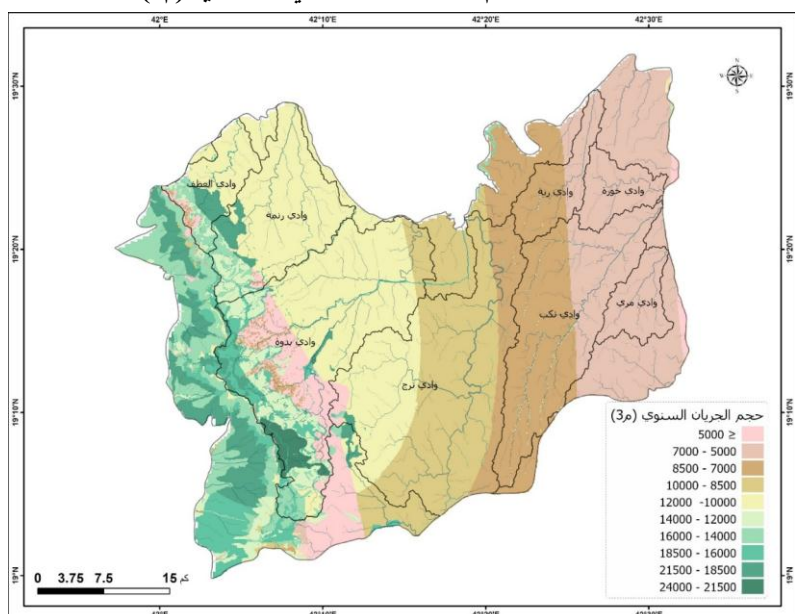
#### - حساب حجم الجريان السطحي(V):

يقيس حجم الجريان السطحي V (Runoff Volume)، كمية الجريان اعتماداً على بيانات عمق الجريان و مساحة احواض التصريف، وبتطبيق المعادلة رقم (٦)، حيث إن (Q) يمثل بيانات عمق الجريان السطحي السنوي (ملم) و (A) يمثل بيانات مساحات احواض التصريف (م²)، علمًا بأن ابعاد الخلية الواحدة (٣٠x٣٠م)، حيث تم حسابها ضمن برنامج Arc map اعتماداً على أداة (Calculator Raster). وعليه تم التوصل إلى قيم الجريان السطحي على مستوى الخلايا بمعدل يتراوح ما بين (٥٠٠٠ - ٢٤٠٠٠) م³ في السنة كما في شكل (١٣)، واما بالنسبة لحجم الجريان للأحواض الرئيسية فقد سُجل أعلى حجم للجريان السطحي السنوي لحوض وادي بدوة بمقدار ٤٣ مليون م³ وبنسبة ٢٠% من كمية الجريان السطحي لأحواض المنطقة، ويليه في المرتبة الثانية حوض وادي ترج بنسبة تزيد عن ١٧% وحجم جريان بلغ ٣٧ مليون م³، كما و يتميز حوض وادي رنمة بارتفاع حجم الجريان السطحي فيه مقابل صغر مساحته بنسبة للأحواض السابقة، والذي بلغ حجم جريانه ما يقارب ٢١ مليون م³ في السنة و بنسبة تصل ٩% من حجم الجريان في المنطقة والموضحة في جدول(١٢).

### جدول ١٢ : حجم الجريان السطحي السنوي للأحواض .

نسبة	حجم الجريان السنوي	المساحة	متوسط عمق	الحوض
٤,١٤	٨,٩٧	٦٩,٤٤	١٢٩,٢	وادي العطف
٢٠,٢٢	٤٣,٨٤	٣٧٦,٥٤	١١٦,٤	وادي بدوة
١٧,٢٤	٣٧,٣٨	٣٩٦,٦٥	٩٤,٢	وادي ترج
١,٤٥	٣,١٤	٥١,٨٤	٦٠,٥	وادي خورة
٢,١٥	٤,٦٦	٦٥,٠٠	٧١,٧	وادي رنة
٩,٧٦	٢١,١٦	١٧٤,٥٥	١٢١,٢	وادي رنمة
١,٣٥	٢,٩٤	٥١,٢٢	٥٧,٣	وادي مري
٨,١٧	١٧,٧٢	٢٤٣,٧٠	٧٢,٧	وادي نكب
٣٥,٥٢	٧٧,٠٠	٧٠٥,٥٦	١٠٩,١	أحواض
١٠٠	٢١٦,٨١	٢١٣٤	٨٣٢,٣	المجموع

المصدر: عمل الباحثة اعتماداً على برنامج Arc map  
شكل ١٣ : حجم الجريان السطحي السنوي (م<sup>٣</sup>) .



المصدر: عمل الباحثة اعتماداً على برنامج Arc map

» اختيار المناطق الملائمة لحصاد مياه الأمطار في محافظة النماص لنجاح أي نظام حصاد هو اختيار الموقع المناسب تحت أسس علمية، ومن خلال البيانات والمعلومات المتوفرة وضعت هذه المعايير والأوزان حسب الأهمية والموضحة في جدول (١٣)، بحيث يكون المتوسط الموزون أعلى من (٥) لأجمالي المعايير، كما ولابد من وضع كمية الجريان السطحي في عين الاعتبار عند تحديد المناطق الملائمة وذلك لتقدير كمية المياه المتوقع حصادها، وإنشاء أنظمة الحصد تبعاً لكمية المياه المقدرة، حيث تم اعتماد كميات الجريان التي تكون أعلى من المتوسط والذي بلغ (٢٣٠٠٠,٠٠٠ م<sup>٣</sup>)، ومن المهم ذكره أن ما تم اعتماده في هذه الدراسة من معايير لا يقتصر عليها وإنما يوجد معايير أخرى اجتماعية، واقتصادية، وجيوسياسية، وإنما تمأخذ معايير مناسبة لطبيعة المنطقة وما تعتمد عليه من أنشطة بشرية.

جدول ١٣ : الشروط والمعايير لاختيار الأماكن الأكثر ملاءمة لحصاد مياه الأمطار.

المعايير	النسبة المئوية حسب الأهمية
نفاذية التربة - soil Texture	%٣٠
الانحدار - slope	%٤٠
البعد من المناطق الحيوية	%٣٠
<b>المجموع</b>	<b>%١٠٠</b>

تطبيق المعايير ضمن نظم المعلومات الجغرافية:

تم إجراء المعالجة للبيانات المعطاة وتحليلها ودمجها وذلك بواسطة الخطوات التالية:

- بناء نموذج (Model Builder) يتوافق مع المعايير التي تم الاعتماد عليها في الدراسة كما في الشكل(١٤).

- تم إدخال طبقة المراكز والقرى التابعة للمنطقة، اشتراقاً بواسطة اداة Euclidean Distance والحصول على نطاقات توضح البعد عن القرى، وبناءً عليه يتم عمل Reclassify تصنيف للمخرجات حسب الأكثر ملاءمة، وذلك بواسطة اداة pendientes.

- تم تحويل طبقة بيانات النفاذية المدخلة إلى نظام Raster، وذلك بواسطة اداة Feature to Raster.

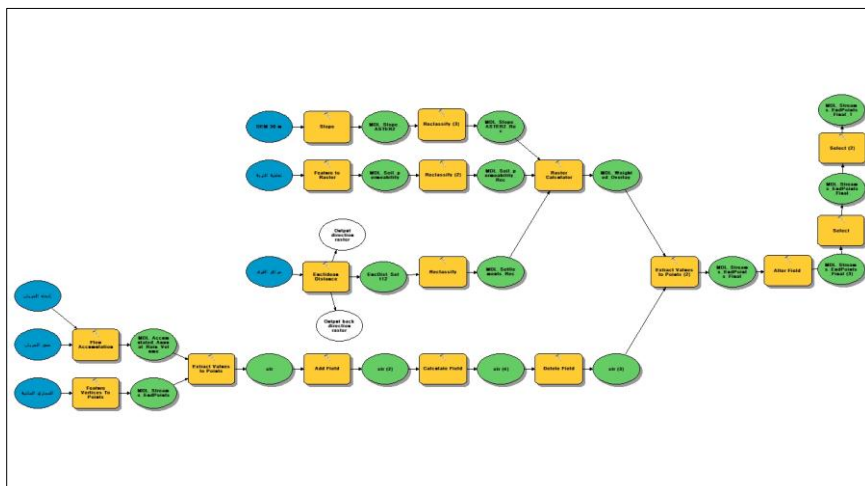
وفقاً للأكثر ملائمة.

- اعتماداً على طبقة DEM، تم اشتراق بيانات الانحدار في المنطقة وذلك عن طريق أداة Slop، وبناءً عليه يتم عمل تصنيف الملاءمة وفقاً للمخرجات .

- بواسطة اداة Raster Calculator، يتم إعطاء الأوزان لكل الطبقات التي تم إجراء Reclassify عليها.

- تم اشتقاق بيانات كمية الجريان السطحي على مستوى الخلايا لكل المجاري المائية في المنطقة بواسطة إدخال طبقة عمق الجريان، وطبقة بيانات اتجاهات الجريان السطحي Flow Direction على أداة Flow Accumulation.
- اعتماداً على طبقة المجاري المائية، يتم استخراج طبقة تحتوي على نقاط يتم انشائها في كل بداية ونهاية المجرى، وذلك على مستوى رتب المجاري المائي في منطقة الدراسة، بواسطة أداة Feature Vertices To Points.
- من خلال مخرج Flow Accumulation وطبقة نقاط المجاري Endpoints (Endpoints Streams)، يتم اشتقاق طبقة توضح قيم الجريان السطحي لخلايا البيانات النقطية، وذلك بواسطة أداة Extract Values to Points.
- إخراج الخريطة النهائية والتي تمثل المناطق المقرحة على هيئة نقطية، وذلك اعتماداً على أداة (Select)، حيث يتم اختيار الموقع ذات متوسط موزون ( $> 5^{\circ}$ ) و حجم جريان ( $> 23$  مليون م $^3$ ).

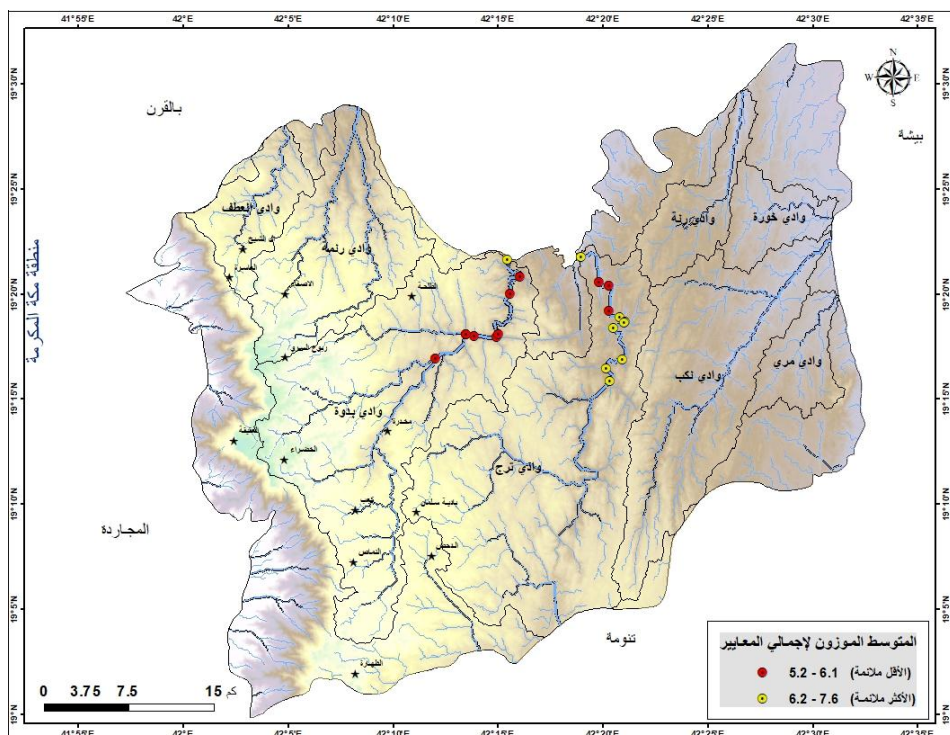
**شكل ٤: (Model Builder)**



وبذلك أظهرت النتائج كما في الشكل(١٥) بأن أفضل المواقع لإقامة أنظمة الحصاد هي في حوضي وادي ترج و وادي بدوة بعدها ١٩ موقع، وذلك يعود إلى أنها منطقة شبه منبسطة مقارنة بالأحواض الأخرى التي يكون فيها الانحدار غير متناسب

مع إقامته مثل هذا النوع من المشاريع، والتي يصعب إنشاؤها، كما أن جميع المواقع المختارة يتراوح حجم الجريان فيها خلال السنة الواحدة من ٢٣ إلى ٤٣ مليون م<sup>٣</sup>، و لأهمية درجة الانحدار في تحديد المناطق ذات الأفضلية، أدى ذلك إلى انحصر الموقع المقترحة في حوضي وادي ترج و وادي بدوه، وعليه تم ترتيب الموقع المختار حسب الأكثر ملائمة من حيث درجة الأفضلية لإجمالي المعايير كما هو موضح في جدول (١٤)، حيث أن الموقع الأكثر ملائمة يتراوح المتوسط الموزون لأجمالي المعايير فيها بين (٦,٢ إلى ٧,٦)، والذي سُجل فيها أعلى متوسط لحجم الجريان البالغ نحو (٤٤ مليون م<sup>٣</sup>)، ويليها المناطق الأقل ملائمة بمتوسط موزون تراوح بين (٥,١ - ٦,١)، وبالمقارنة بالمشاريع المقاومة حالياً في المحافظة حيث إن حوض وادي ترج يحتوي على مشروعين من نوع "سد"، وحوض وادي بدوه يحتوي على سد واحد وهذا تكمن أهمية النتائج المقترحة والتي ستساهم بشكل فعال في استغلال الموارد المائية غير المستغلة في المحافظة.

#### شكل ١٥: الموقع الملائمة لحصاد مياه الأمطار.



المصدر: عمل الباحثة بالأعتماد على برنامج Arc Pro

جدول ٤: ترتيب المواقع الأكثر ملائمة حسب الأفضلية لـجمالي المعايير.

م	الإحصائي السيني	الإحصائي الصادي	حجم الجريان السنوي (م³)	درجة الأفضلية (جمالي المعايير)	درجة الملاءمة
الأكثر ملائمة	٤٢,٣١٥٩٦	١٩,٣٦٣٣٧	٢٨٦٦٨٤٦٤	٧,٦	الأكثر ملائمة
	٤٢,٣٤٦٨٧	١٩,٣١٥١٥	٢٦٧٦٦٦١٠	٧,٦	
	٤٢,٣٥٠٧	١٩,٣١١٦٣	٢٦٥٦٤٥٧٦	٧,٦	
	٤٢,٣٥٠١٣	١٩,٣١١٠٧	٢٥٩٥٤٧٩٠	٧,٢	
	٤٢,٣٤١٧٩	١٩,٣٠٦٨٢	٢٥٧٢٩٩٢٩٢	٧,٢	
	٤٢,٣٤٨٨٦	١٩,٢٨١٦٢	٢٤٩٥٥٢٤٢	٧,٢	
	٤٢,٣٣٦٢٣	١٩,٢٧٤٥٦	٢٤٥٠٣٦٣٠	٧,٢	
	٤٢,٣٣٨٧١	١٩,٢٦٤٧	٢٣٦٢٦٤٨٨	٧,٢	
	٤٢,٢٥٧٧٦	١٩,٣٦١١٣	٤٣٧٤٩٩٣٦	٦,٦	
	٤٢,٢٦٧٥٥	١٩,٣٤٧٢٥	٤٢٨٥١٦٠٠	٦,٢	
الأقل ملائمة	٤٢,٣٣٠١٩	١٩,٣٤٣٥	٢٨٠٧١٤٥٢	٦	الأقل ملائمة
	٤٢,٣٣٨١	١٩,٣٢٠٥٢	٢٦٩٥٢٢٩٨	٦	
	٤٢,٢٥٩٣٧	١٩,٣٣٤٢	٤٢١٠١٢٤٠	٥,٢	
	٤٢,٢٥٠٣٥	١٩,٣٠١٨٩	٤٠٢٢٢٤٨٤	٥,٢	
	٤٢,٢٤٩٢٣	١٩,٢٩٩٤	٣٩٨٩٨٩١٦	٥,٢	
	٤٢,٢٣١٢٥	١٩,٣٠٠٥	٣٧٩٩٨٧٠٤	٥,٢	
	٤٢,٢٢٤٨٧	١٩,٣٠١٥١	٣٧٨١٧٩٤٤	٥,٢	
	٤٢,٣٣٨٠٦	١٩,٣٤٠٣٢	٢٧٦٩٩٢٧٠	٥,٢	
	٤٢,٢٠٠٥٨	١٩,٢٨٢١٦	٢٥٥٤١٨٣٨	٥,٢	

المصدر: عمل الباحثة بالاعتماد على برنامج Arc Pro

## الخاتمة

### النتائج:

- يمكن إيجاز أهم النتائج التي توصلت إليها الدراسة فيما يأتي:
- تشكل الأمطار المتتساقطة في المنطقة على مدار فصول السنة، حيث إن الجزء الأكبر منها يكون في فصل الربيع، ويليها الأمطار المتتساقطة خلال فصلي الشتاء والصيف، ويکاد ينعدم التساقط في فصل الخريف.
  - تقل عدد السنوات التي تزيد فيها كمية الأمطار السنوية عن المتوسط (٢٨٩, ١١) ملم، عن عدد السنوات التي تقل فيها كمية الأمطار عن المتوسط والتي بلغت ١٣ سنة.
  - دلت قيم احتمالية سقوط الأمطار وفترة رجوعها في المنطقة على أنها تتسم بالطابع العشوائي والمتنبدب على مدار السنوات المدروسة.
  - قدرت أعلى كمية للأمطار خلال السنوات المدروسة بفترة رجوع بلغت ١٧ سنة واحتمالية تصل ٥%.
  - بنسبة لمعدلات الأمطار التي تتراوح بين (٤١ و ٤٢) ملم، بلغت نسبة احتمالية رجوعها أقل من ٢٣%， وفترات رجوع تتراوح من ٤ إلى ٨ سنوات.
  - كما تبين أن احتمالية التساقط بلغت ٩٩% للمعدلات التي تتراوح من ٢١٦ إلى ٤٤ ملم خلال السنة، والتي تميزت بأن فترات رجوعها تكون كل سنة إلى سنتين.
  - اثبتت النتائج أن نسبة احتمالية الرجوع تزيد كلما قلت كمية الهطول السنوي.
  - كما تميزت المنطقة عن المناطق المجاورة لها بأنها احتلت المرتبة الأولى في معدلات التساقط والذي يبلغ ٢٨٩, ١١ ملم في السنة، وبذلك يتبيّن أثر التضاريس الكبير لهذا التفاوت في معدلات التساقط، مما جعل وقوعها في واجهة الجبال واتجاهها للمؤثرات المناخية المتحركة سبباً في ذلك.
  - بناءً على استخدام خوارزميه (IDW)، وجذ أن أعماق المطر في الأحواض المدروسة تتراوح بين (١٥٠ - ٢٤٥) ملم خلال سنة.
  - تم الحصول على قيم (CNS) لأحواض المنطقة وذلك باعتبار أن الحالة المسبيقة للرطوبة التربة هي الحالة المعتدلة، حيث بلغ عدد القيم (٢٨) قيمة تتراوح بين (٣٩) للمنطقة الأكثر نفاذية وبين (٩٨) للمنطقة الأقل نفاذية.
  - تفاوتت أعماق الجريان السطحي (Q) في الأحواض بين (٤ - ٥٠) ملم، حيث سُجل أعلى متوسط عمق لجريان في حوض وادي العطف بمعدل (١٢٩, ٢) ملم، يليه حوض وادي رنمة بمتوسط بلغ (١٢١, ٤) ملم في السنة.
  - أظهرت نتائج تدبير حجم الجريان السطحي السنوي (V) البالغ متوسطة (١٣٩, ٨) مليون م٣ على مستوى الأحواض الرئيسية في المنطقة، مما يعني ضخامة حجم المياه الجاربة في أحواض المنطقة.

- اتضح من خلال دراسة أحواض التصريف التباين الكبير في خصائصها الطبعافية، والمساحة وكثافة التصريف لكل حوض.
- أظهرت النتائج بأن أفضل المواقع لإقامة خزانات حصاد، في حوضي وادي ترج ووادي بدوه والتي بلغت ١٩ موقعًا.
- بلغت كمية المياه الجارية في الموضع المقترن من ٢٣ إلى ٤٢ مليون م<sup>3</sup>، وذلك خلال السنة الواحدة.
- تعد أفضل المواقع المقترنة من حيث درجة الأفضلية حسب إجمالي المعايير، ذات متوسط وزون (٦,٧) بمعدل جريان يتراوح بين ٢٨ إلى ٢٦ مليون م<sup>3</sup> خلال السنة.
- مقارنة بالمشاريع المقامة حالياً في المحافظة لم تتوافق النتائج المقترنة للموضع مع أي من هذه المشاريع، فقط وقوع ٣ مشاريع من نوع "سد" اثنان منها في أعلى حوض وادي ترج ومشروع في حوض وادي بدوة.

**الوصيات:**

- بناءً على ما توصلت له الدراسة من نتائج، فإنها توصي بالآتي:
  - تطوير الدراسات والأبحاث في مجال تقنيات الحصاد، لتحسين وتبني طرق لإدارة مياه الأمطار من حيث الكمية والنوعية.
  - إنشاء محطات لقياس كمية الأمطار الساقطة، وأخرى لقياس التصريف لغرض توفير البيانات التي يحتاجها الباحث عند القيام بأبحاث والتي بدورها تساعده على تنمية المنطقة.
  - إنشاء مشاريع الحصاد في جميع الأحواض مع الأخذ بالاعتبار كمية المياه الجارية في كل حوض.
  - توصي الدراسة بإعطاء الاهتمام الأكبر بتأسيس بنية تحتية متناسبة مع طبيعة المنطقة لاحتواء أمطار السيول والاستفادة منها وتخزينها بالشكل الصحيح.
  - توصي الدراسة بعمل أبحاث مشابهة للمناطق الأخرى، وإعطاء صور جديدة عن سبل وطرق مبتكرة للاستفادة من هذه المياه المحسوبة.

المصادر والمراجع:

أولاً: العربية

- ابو حجر، آمنة. (٢٠٠٩م). *المعجم الجغرافي*. عمان -الأردن: دار اسامة لنشر و التوزيع.
- ابو سموره، حسن، و الخطيب، حامد. (١٩٩٩م). *جغرافية الموارد المائية*. عمان: دار صفاء لنشر و التوزيع.
- آل الشيخ، عبد الملك عبد الرحمن. (٢٠٠٦م). *حساب مياه الامطار و السيول و أهميته للموارد المائية في المملكة العربية السعودية*. كلية علوم الاغذية و الزراعة - جامعة الملك سعود. الرياض: المؤتمر الدولي الثاني للموارد المائية و البيئة الجافة. ص ٣.
- الأحيدب، إبراهيم سليمان. (١٤١٤هـ). *توزيع الأمطار في جنوب غرب المملكة العربية السعودية*. الرياض: جامعة الملك سعود.
- الحسن، عبدالرحمن محمد الحسن. (٢٠١١م). *اقتصاديات المياه و التنمية المستدامة: نحو التحقيق للأمن المائي*. السودان: جامعة محمد خضرير بسكرة.
- الحلنقى، عبدالإله جعفر. (٢٠١٢م). *استخدام تقانة نظم المعلومات الجغرافية في حساب المياه: دراسة حالة ولاية كسلا*. الخرطوم: جامعة النيلين.
- الخرابشة، عاطف علي حامد، و غنيم، عثمان محمد. (٢٠٠٩م). *الحساب المائي في الأقاليم الجافة و شبه الجافة في الوطن العربي*. عمان: دار صفاء للنشر و التوزيع. ص ٣٨.
- الدليمي، آمنة جبار. (٢٠١٦م). *تقانات حساب المياه ودورها في إدارة الموارد المائية وإمكانية تبنيتها المستدامة في الوطن العربي*. مصر: مجلة البحث العلمي في الآداب - جامعة عين شمس.
- الددعبي، ماجد عبدالله. (٢٠١٤م). *استخدام تقنية الاستشعار عن بعد ونظم المعلومات الجغرافية لدراسة الحساب المائي لمياه السيول في منطقة القصيم*. المملكة العربية السعودية : جامعة ام القرى.
- الدويب، ريهام حسن. (٢٠١٢م). *حساب مياه الامطار باستخدام نظم المعلومات الجغرافية: حالة تطبيقية الجزء الجنوبي الغربي من محافظة الخليل*. بيرزيت: جامعة بيرزيت.
- الرفاعي، محمود فيصل. (١٩٨٨م). *المعجم الدولي للهيدرولوجيا*. دار طلاس.
- الزقرطي، إبراهيم موسى، و العزيزي، هاني عبد الرحيم. (٢٠٠٧م). *معجم المصطلحات والمفاهيم الجغرافية*. عمان -الأردن: دار مجذولاوي للنشر و التوزيع.

## الملاحة المكانية لحساب مياه الأمطار في محافظة ...، نورة الأسمري - د. سلافة الصافي

- الساكنى، عبير يحيى أحمد. (٢٠١١م). تقانات حصاد المياه ودورها في تنمية الموارد المائية العربية. الجامعة المستنصرية - مركز المستنصرية للدراسات العربية والدولية.
- الشطناوى، غادة محمود. (٢٠٠٦م). تحديد أفضل المواقع لمشاريع الحصاد المائي (السود و الحفائر) في منطقة البابية الشمالية الشرقية باستخدام تطبيقات نظم المعلومات الجغرافية . الأردن: معهد علوم الأرض والزراعة.
- الشرقاوى، محمد محمود. (٢٠١٨م). تطبيق نموذج المنحنى المائى لأحادي في تقدير تدفق الذروة لسيول الأودية الداخلية على مدينة بريدة بمنطقة القصيم المملكة العربية السعودية. القصيم: الجمعية الجغرافية السعودية.
- الشريف، عبدالرحمن صادق. (١٩٧٦م). مناخ إقليم جنوب غرب المملكة العربية السعودية. السعودية: الدار.
- الشريف، عبدالرحمن صادق. (١٩٨٤م). جغرافية المملكة العربية السعودية الجزء الثاني إقليم جنوب غرب المملكة. الرياض: دار المريخ لنشر.
- الشريف، عبد الرحمن صادق. (١٩٩٣م). جغرافية المملكة العربية السعودية. الرياض: دار المريخ. ص ١٣١.
- الصالح، محمد عبدالله. (١٤٢٨هـ). موارد المياه. تأليف موسوعة المملكة العربية السعودية (منطقة عسير) الرياض: مكتبة الملك عبدالعزيز العامة ص ٦٥ - ٧٦.
- الطاهر، عبدالله أحمد. (٢٠١٦م). خصائص بعض عناصر مناخ المنطقة الشرقية بالمملكة العربية السعودية. الرياض: جامعة الملك سعود ص ١٩ ، ٢٠.
- الطاهر، عبدالله أحمد. (١٤٢٨هـ). التربة. تأليف موسوعة المملكة العربية السعودية (منطقة عسير) الرياض: مكتبة الملك عبدالعزيز العامة ص ٥٤ - ٥٩.
- الغزاوى، علي عبد عباس، و الجبوري، زكريا يحيى خلف. (٢٠١٢م). النمذجة البيولوجية لحساب مياه السطحي لوادي تارو باستخدام نظم المعلومات الجغرافية GIS. المجلة العربية الدولية-المعلوماتية، المجلد الأول، العدد الثاني.
- الفقي، ابراهيم محمد. (٢٠٠٨م). السعودية.. والمياه: موارد محددة.. و استهلاك متربع. السعودية: معهد الدراسات البولوماسية بوزارة الخارجية السعودية.
- القحطاني، سفر بن حسين، و إسماعيل، صبحي محمد. (١٤٣٣هـ). اقتصادات الموارد المائية وادارتها (الأسس و التطبيقات). الرياض: كرسى الشيخ محمد العمودي لأبحاث المياه بجامعة الملك سعود.

- الكليبي، فهد بن محمد. (١٤٢٨هـ). المناخ. تأليف موسوعة المملكة العربية السعودية(منطقة عسير). الرياض: مكتبة الملك عبدالعزيز العامة.ص ٤١ - ٤٦.
- البحاني، زينب صلاح. (٢٠١٣م). استخدام تقنية الاستشعار عن بعد لدراسة تأثير التغير في المساحات المصمتة بمدينة مكة المكرمة وعلاقتها بالمخاطر السيلية. مكة المكرمة.
- الوليعي، عبدالله بن ناصر. (٢٠٠٨م). جيولوجية وجيومورفولوجية المملكة العربية السعودية. الرياض: مكتبة الملك فهد الوطنية.
- جرس، سعيد محمود. (٢٠١٥م). حصاد المياه في قطاع غزة ٢٠١٣ - ٢٠١١ . فلسطين: مجلة جامعة فلسطين للأبحاث والدراسات .
- جودت، ندى شاكر. (٢٠١٦م). حصاد المياه وأثره في تنمية الموارد المائية في العراق. العراق: أداب الكوفة.
- حميد، دلي خلف. (٢٠١٦م). التحميل المكاني لتقدير حجم الجريان السطحي باستخدام CN(SCS) لحوض وادي المر الجنوبى- شمال العراق. تكريت - العراق: قسن الجغرافية ، كلية التربية للعلوم الإنسانية ، جامعة تكريت.
- سليم، علي مصطفى. (٢٠١٧م). حصاد مياه الأمطار في منطقة مصراته. ليبيا: المجلة العلمية لكلية التربية.
- غانم، عبد النور علي حازم. (٢٠٠٨م). أسباب الفيضانات في المناطق الجافة وشبها الجافة وأسباب السيطرة عليها: دراسة حالة "فيضانات مدينة معبر في اليمن" (المجلد ٥). الرياض: مجلة تقنية البناء.
- محسوب، محمد صبري، أرباب، محمد إبراهيم، و الغامدي، عبدالله أحمد. (١٩٩٩م). دراسات في جغرافية المملكة العربية السعودية. مصر: دار الفكر العربي.
- محمد، محمد عبدالله داؤد، و محمد، أحمد عبدالرحيم حسن. (٢٠١٧م). دور تقانات حصاد المياه في التنمية المستدامة بولاية القضارف- السودان. المؤتمر الجغرافي الدولي الأول - الفترة من ٩-١١ ديسمبر (صفحة ١٨٠). المنوفية: جامعة المنوفية- كلية الآداب- مركز البحوث الجغرافية و الكارتوجرافية.
- مكي، عبد اللطيف. (٢٠٠٦م). تقانة حصاد مياه الأمطار. الخرطوم، السودان.
- نافع، عقيل، محمد. (بلا تاريخ). موارد المياه و التوسيع الزراعي في المملكة.
- نافع، فيصل عبدالفتاح. (٢٠١٨م). استخدام تقانات حصاد المياه لتنمية الموارد المائية العراقية المستنصرية، العراق: مجلة المستنصرية للدراسات العربية والدولية.
- نصر، مسعود محمد. (٢٠٠٨م). التقسيم الكمي والنوعي لحصاد مياه الأمطار بمنطقة يفرن. طرابلس: جامعة طرابلس.

**المصادر الالكترونية:**

- مكتبة البيانات المفتوحة تطور كميات مياه الشرب الموزعة حسب المصادر الرئيسية. (٢٠١٨م). تم الاسترداد من وزارة البيئة والمياه و الزراعة: [www.mewa.gov.sa](http://www.mewa.gov.sa)
- هيئة المساحة الجيولوجية السعودية (٢٠١٧م). المملكة العربية السعودية حقائق و أرقام. جدة: هيئة المساحة الجيولوجية السعودية.
- وزارة البيئة والمياه والزراعة (يناير، ٢٠١٨م). الاستراتيجية الوطنية للمياه ٢٠٣٠م. المملكة العربية السعودية.
- وزارة البيئة والمياه والزراعة (٢٠١٦م). التطور التراكمي لسدود بالمملكة.

**ثانياً: الأجنبية:**

- Dieter Prinz, Ahmed Y. Hachum Theib Y. Oweis.
- Fealy. R (2010) "The Irish Agricultural Catchments Programme: catchment .Ireland: Soil Use and Management".
- Raster(2019.77) . تم الاسترداد من OpenTopography.
- Shereif .H.(2014)"The potential of in situ rainwater harvesting in arid regions:developing a methodology to identify suitable areas using GIS-based decision support system." .Saudi Society for Geosciences
- Shereif H. Mahmoud .(2015) .Monitoring prospective sites for rainwater harvesting and stormwater management in the United Kingdom using a GIS-based decision support system .Verlag Berlin Heidelberg.
- Saboory. moh .(2014)" Application of GIS for selection of suitable water harvesting project sites -A case study on Khulm watershed of Afghanistan" . Annual Congress of JRCSA, At Fukui, Japan.
- Sambhajld. Shinde&Gaikwad V.P.(2016).Application of GIS For GMapping Rainwater Harvesting potential: A case Study Of Nidhal Village in Satara District, Maharashtra, INDIA.

International Journal of Research in Applied,Natural and Social Sciences-

- Thomas Dunne ، Luna Leopold.(1978) *Water In Environmental Planning* .Freeman and company
- USD. (1986).Urban Hydrology for Small Watersheds - Estimating Runoff .

